



**PENGARUH RASIO LUAS PERMUKAAN KATODA
TERHADAP LAJU KOROSI BAJA A36 DENGAN
METODE PROTEKSI KATODIK
PADA MEDIA AIR LAUT**

SKRIPSI

Oleh

**Mochamad Ody Alfaris
NIM 131910101014**

**PROGRAM STUDI STRATA-1 TEKNIK MESIN
JURUSAN TEKNIK TEKNIK MESIN
FAKULTAS TEKNIK
UNIVERSITAS JEMBER
2020**



**PENGARUH RASIO LUAS PERMUKAAN KATODA
TERHADAP LAJU KOROSI BAJA A36 DENGAN
METODE PROTEKSI KATODIK
PADA MEDIA AIR LAUT**

SKRIPSI

diajukan guna melengkapi skripsi dan memenuhi salah satu syarat
untuk menyelesaikan Program Studi Teknik Mesin (S1)
dan mencapai gelar Sarjana Teknik

Oleh

Mochamad Ody Alfaris
NIM 131910101014

**PROGRAM STUDI STRATA-1 TEKNIK MESIN
JURUSAN TEKNIK MESIN
FAKULTAS TEKNIK
UNIVERSITAS JEMBER
2020**

PERSEMBAHAN

Segala puji syukur kepada Allah SWT serta dengan penuh rasa syukur dan kerendahan hati skripsi ini saya persembahkan kepada :

1. Allah SWT atas segala berkat, rahmat, serta hidayahnya, serta kepada junjungan kita Nabi Muhammad SWT.
2. Ayahanda tercinta Edy sungkono dan ibunda tercinta Ida Yuniasih yang selalu memberikan do'a, semangat, dan kasih sayang yang tiada henti-hentinya.
3. Kakak saya tercinta Rahmadaniar Aditya Putri S.Kep.,M.Tr.Kep dan Yoga Daniel, Amd yang selalu menjadi motivasi terbaik.
4. Seluruh keluarga besar Alm. Adi Suwito dan Alm. Lamin Adi Prayitno yang selalu memberikan dukungan secara fisik ataupun materil.
5. Seluruh dosen Teknik Mesin Fakultas Teknik Universitas Jember yang selalu memberikan ilmu dan wawasannya. Bapak Sumarji, S.T, M.T. selaku dosen pembimbing utama dan bapak Santoso mulyadi S.T, M.T. selaku pembimbing anggota yang senantiasa meluangkan waktu dan memberikan arahan sehingga skripsi ini dapat terselesaikan. Bapak Mochamad Edoward Ramadhan, S.T, M.T. selaku dosen penguji utama dan bapak Rahma Rei Sakura, S.T, M.T. selaku dosen penguji anggota yang telah banyak memberikan saran sehingga skripsi ini dapat diselesaikan dengan baik.
6. Keluarga besar Teknik Mesing angkatan 2013 yang senantiasa menjadi sahabat, teman dan keluarga.
7. Akhmad Faisol, S.T. dan Muhamad Royan alfi Rosyidin, S.T. yang telah membantu terselesainya skripsi ini.
8. Ritha Febrianti, S.Ptk selaku pendamping skripsi yang selalu menjadi motivator terbaik dan senantiasa memberikan semangat yang luar biasa, semoga selalu dalam lindungan-nya dan diberikan kesuksesan dunia akhirat.
9. Almamater Universitas Jember yang sangat saya banggakan.

MOTTO

“Jalani Hidup seperti air yang mengalir”
(Mochamad Ody Alfaris)

“Barang siapa yang mempelajari ilmu pengetahuan yang seharusnya ditunjukan untuk mencari ridho Allah bahkan hanyu untuk mendapatkan kedudukan/kekayaan duniawi maka ia tidak akan mendapatkan baunya surga nanti pada hari kiamat”
(Abu Hurarirah Radhiallahu Anhu)

“Apa arti ijazah yang bertumpuk, jika kepedulian dan kepekaan tidak ikut dipupuk. Apa gunanya sekolah tinggi-tinggi, jika hanya perkaya diri sendiri dan family.”
(Najwa Shihab)

PERNYATAAN

Saya yang bertanda tangan di bawah ini:

Nama : Mochamad Ody Alfaris

NIM : 131910101014

Menyatakan dengan sesungguhnya bahwa karya ilmia yang berjudul “Pengaruh Rasio Permukaan Katoda Terhadap Laju Korosi Baja A36 Dengan Metode Proteksi Katodik Pada Media Air Laut” adalah benar-benar hasil karya sendiri, kecuali kutipan yang sudah saya sebutkan sumbernya, belum pernah diajukan pada institusi mana pun, dan bukan karya jiplakan. Saya bertanggung jawab atas keabsahan dan kebenaran isinya sesuai dengan sikap ilmiah yang harus dijunjung tinggi.

Demikian pernyataan ini saya buat dengan sebenarnya, tanpa ada tekanan dan paksaan dari pihak manapun serta bersedia mendapat sanksi akademik jika ternyata di kemudian hari pernyataan ini tidak benar.

Jember, 23 Juni, 2020

Yang menyatakan,

(Mochamad Ody Alfaris)

131910101014

PENGESAHAN

Skripsi yang berjudul ”PENGARUH RASIO LUAS PERMUKAAN KATODA TERHADAP LAJU KOROSI BAJA A36 DENGAN METODE PROTEKSI KATODIK PADA MEDIA AIR LAUT” telah diuji dan disahkan pada:

Hari, tanggal : Rabu, 23 Juni 2020

Tempat : Fakultas Teknik Universitas Jember

Dosen Pembimbing Utama,

Dosen pembimbing Anggota,

Sumarji, S.T., M.T.
NIP. 196802021997021001

Santoso Mulyadi, S.T., M.T.
NIP. 197002281997021001

Penguji I,

Penguji II,

Mochamad Edoward. R, S.T., M.T.
NIP. 198704302014041001

Rahma Rei Sakura, S.T., M.T.
NIP. 197510062002121002

Mengesahkan,
Dekan Fakultas Teknik Universitas Jember,

Dr. Ir. Entin Hidayah M. UM.
NIP 19661215 199503 2 001

RINGKASAN

Pengaruh Pengaruh Rasio Permukaan Katoda Terhadap Laju Korosi Baja A36 Dengan Metode Proteksi Katodik Pada Media Air Laut; Mochamad Ody Alfaris, 131910101014; 2020; 59 halaman; Jurusan Teknik Mesin, Fakultas Teknik, Universitas Jember.

Korosi adalah reaksi kimia antara logam dengan lingkungan. Logam yang terserang korosi akan mengalami penurunan kualitas sifat fisik dan mekaniknya, selain itu korosi akan menurunkan umur logam. Salah satu metode yang dapat digunakan untuk menghambat laju korosi adalah proteksi anoda korban. Proteksi anoda korban yaitu proteksi yang dilakukan dengan menghubungkan logam baja dengan logam yang memiliki nilai standar elektroda lebih negatif pada media elektrolit. Logam baja yang kurang aktif menerima proteksi katodik pada permukaannya karena adanya aliran arus melalui elektrolit dan menerima elektron.

Penelitian ini dilakukan untuk mengetahui pengaruh variasi rasio luas permukaan katoda dengan menggunakan anoda terhadap laju korosi baja A36 pada media air laut, penelitian ini menggunakan variasi anoda alumunium ukuran 4 x 4 cm, anoda seng ukuran 4 x 4 cm, dan baja A36 ukuran 4 x 4 cm, 4 x 8 cm 4 x 12 cm, dengan interval waktu perendaman selama 28 hari.

Penelitian ini dilaksanakan pada bulan Juli 2019 sampai dengan bulan November 2019 yang dilakukan di Laboratorium Uji Material Fakultas Teknik Universitas Jember untuk proses observasi mikro dan Laboratorium Kimia Biologi Fakultas Farmasi Universitas Jember untuk proses penimbangan berat spesimen baja A36, anoda seng dan anoda aluminium.

Berdasarkan data hasil penelitian laju korosi terendah diperoleh pada variasi baja A36 luas katoda 4 x 4 cm dengan proteksi alumunium dengan rata-rata laju korosi 0.0921 mm/tahun dengan prosentase kinerja anoda korban terhadap baja A36.

SUMMARY

The Effect of The Cathode Surface Area Ratio on the Corrosion Rate of A36 Steel With Cathodic Protection Methods in Seawater; Mochamad Ody Alfaris, 131910101014; 2020; 59 pages; Mechanical Engineering Departement, Faculty of Engineering, University of Jember.

Corrosion is the reaction of chemicals between metals and the environment. Metals that are attacked by corrosion will experience a decrease in the quality of their physical and mechanical properties, besides that corrosion will reduce metal life. One method that can be used to inhibit the rate of corrosion is sacrificial anode protection. Victim anode protection is protection made by connecting steel with metal which has a more negative electrode standard on the electrolyte media. The less active steel metal receives cathodic protection on its surface because of the current flowing through the electrolyte and receiving electrons.

This research was conducted to determine the effect of variations in the surface area of the cathode using variations of aluminum anode size 4 x 4 cm, zinc anode size 4 x 4 cm, and A36 steel size 4 x 4 cm, 4 x 8 cm 4 x 12 cm, with intervals immersion time for 28 days.

This research was carried out in July 2019 until November 2019 which was conducted at the Material Testing Laboratory of the Faculty of Engineering University of Jember for micro observation and the Laboratory of Biological Chemistry Faculty of Pharmacy University of Jember for the weighing of A36 steel specimens, zinc anodes and aluminum anodes.

Based on the research results, the lowest corrosion rate was obtained in the variation of A36 steel with 4 x 4 cm cathode area with aluminum protection with an average corrosion rate of 0.0921 mm / year with the percentage of sacrificial anode performance on A36 steel.

PRAKATA

Puji dan syukur kehadiran Allah SWT yang telah melimpahkan rahmat dan karunia-Nya sehingga penulis dapat menyelesaikan skripsi yang berjudul “Pengaruh Rasio Luas Permukaan katoda Terhadap Laju Korosi Baja A36 Dengan metode Proteksi Katodik Pada Media Air Laut”. Skripsi ini disusun guna memenuhi salah satu syarat menyelesaikan pendidikan strata satu (S1) di Jurusan Teknik Mesin, Fakultas Teknik, Universitas Jember.

Dalam proses penelitian dan penyusunan skripsi ini tidak lepas dari dukungan dan bantuan berbagai pihak. Oleh karena itu penulis mengucapkan terimakasih kepada:

1. Bapak Hari Arbiantara, S.T, M.T., selaku Ketua Jurusan Teknik Mesin Fakultas Teknik Universitas Jember;
2. Bapak Dr. Ir. Salahudin Junus S.T., M.T. selaku ketua prodi S1 Fakultas Teknik Mesin Universitas JemberBapak Sumarji, S.T., M.T. selaku Dosen Pembimbing Utama;
3. Bapak Santoso Mulyadi, S.T., M.T. selaku Dosen pembimbing Anggota;
4. Bapak Mochamad Edoward. R, S.T., M.T. selaku Dosen Penguji Utama;
5. Bapak Rahma Rei Sakura, S.T., M.T. selaku Dosen Penguji anggota;
6. Ayah, dan ibu saya yang selalu memberikan do'a, semangat, dan kasih sayang yang tiada henti-hentinya;
7. Kakak saya yang selalu menjadi motivasi untuk menjadi lebih baik;
8. Seluruh keluarga besar Alm. Adi suwito dan Alm. Lamin Adi Prayitno yang selalu memberikan dukungan baik fisi ataupun materil;
9. Saudaraku Ahkmad, Muhamad Royan alfi Rosyidin, S.T. dan keluarga besar TM 13 yang selalu menjadi motivator terbaik;
10. Almamater Universitas Jember yang saya banggakan dan cintai;

Jember, 23 Juni 2020

Penulis

DAFTAR ISI

Halaman	
HALAMAN SAMPUL	.i
HALAMAN JUDUL	.ii
PERSEMBAHAN	.iii
MOTTO	.iv
PERNYATAAN	.v
PENGESAHAN	.vi
RINGKASAN	.vii
SUMMARY	.viii
PRAKATA	.ix
DAFTAR ISI	.x
BAB 1. PENDAHULUAN	.1
1.1 Latar Belakang	.1
1.2 Rumusan Masalah	.2
1.3 Batasan Masalah	.2
1.4 Tujuan dan Manfaat Penelitian	.3
1.4.1 Tujuan	.3
1.4.2 Manfaat	.3
1.5 Hipotesis	.3
BAB 2. TINJAUAN PUSTAKA	.4
2.1 Pengertian Korosi	.4
2.2 Prinsip Terjadinya korosi	.4
2.3 Faktor-faktor yang mempengaruhi laju korosi	.6
2.3.1 Sifat Material	.6
2.3.2 Faktor Lingkungan	.6
2.4 Macam-macam korosi	.8
2.4.1 korosi Galvanis (<i>Bemetal corrosion</i>)	.8
2.4.2 Korosi Erosi (<i>Erosion Corrosion</i>)	.9
2.4.3 Korosi Tegangan (<i>Stress Corrosion</i>)	.9

2.4.4 Korosi Celah (<i>Crevice Corrosion</i>)	10
2.4.5 Korosi Sumuran (<i>paitting Corrosion</i>)	10
2.5 Proteksi Katodik	12
2.5.1 Arus Paksa	12
2.5.2 Metode Arus Terpasang (<i>Impressed Current</i>).....	13
2.5.3 Metode Anoda Korban (<i>Sacrificial Anode</i>).....	13
2.6 Baja	16
2.6.1 Baja Secara Umum	16
2.6.2 Baja A36.....	18
2.7 Bahan Anoda Korban.....	19
2.7.1 Aluminium.....	19
2.7.2 Seng (Zinc)	19
2.8 Air Laut	20
2.8.1 Organisme laut	20
2.8.2 Salinitas	21
2.9 Pengendalian Korosi.....	21
2.10 Deret Galvanik	21
2.11 Perhitungan Laju Korosi Pelat baja dengan perlindungan Anoda Korban.....	23
2.12 Metode Kehilangan Berat (<i>Weight Loss</i>)	24
2.13 Perhitungan Kebutuhan Anoda.....	26
BAB 3. METODE PENELITIAN.....	28
3.1 Waktu dan Tempat.....	28
3.2 Alat dan Bahan.....	28
3.2.1 Alat	28
3.2.2 Bahan.....	28
3.3 Variabel Pengukuran	29
3.3.1 Variabel bebas atau variable penyebab (<i>dependent variables</i>)	29
3.3.2 Variabel terikat atau variable tergantung (<i>dependent variables</i>)	29

3.4 Diagram Alir Penelitian	30
3.5 Prosedur Penelitian.....	30
3.5.1 Persiapan pengujian.....	30
3.5.2 Penyusunan spesimen.....	31
3.5.3 Pengujian spesimen	31
3.5.4 Persiapan spesimen.....	32
3.5.5 Pengambilan data	33
BAB 4. HASIL DAN PEMBAHASAN	35
4.1 Data Hasil penelitian	35
4.2 Analisis Laju Korosi	35
4.2.1 Analisis laju korosi baja A36 tanpa anoda korban	35
4.2.2 Analisis laju korosi baja A36 luas katoda 4 x 4 dengan proteksi alumunium.	36
4.2.3 Analisis laju korosi baja A36 luas katoda 4 x 8 dengan proteksi alumunium.	37
4.2.4 Analisis laju korosi baja A36 dengan luas katoda ukuran 4 x 12 cm dengan proteksi aluminium.....	38
4.2.5 Analisis laju korosi baja A36 luas katoda 4 x 4 dengan proteksi seng	39
4.2.6 Analisis laju korosi baja A36 luas katoda 4 x 8 cm dengan proteksi seng	40
4.2.7 Analisis laju koroi baja A36 dengan luas katoda ukuran 4 x 12 cm dengan proteksi seng	41
4.2.8 Anlisa perbedaan laju koroi pada setiap variasi anoda korban	42
4.3 Observasi Struktur Makro	43
4.3.1 Analisis struktur makro baja A36 tanpa anoda korban.....	45
4.3.2 Analisis struktur makro baja A36 dengan proteksi anoda korban seng dengan ukuran 4 x 4 cm	48
4.3.3 Analisis struktur makro baja A36 dengan proteksi anoda korban aluminium dengan ukuran 4 x 4 cm	50

4.4 Observasi Struktur Mikro	54
4.4.1 Mekanisme dan analisis struktur mikro baja A36 tanpa anoda korban	55
4.4.2 Analisis struktur mikro baja A36 dengan anoda korban seng	56
4.4.3 Analisis struktur mikro baja A36 dengan anoda korban aluminium	57
BAB 5. PENUTUP.....	59
5.1 Kesimpulan.....	59
5.2 Saran	60
DAFTAR PUSTAKA	61
LAMPIRAN.....	64

DAFTAR GAMBAR

Gambar 2.1 Sel Korosi (Fadly, 2010)	5
Gambar 2.2 Korosi galvanis (Utomo, 2009).....	8
Gambar 2.3 Korosi Erosi (Utomo, 2009).....	9
Gambar 2.4 Korosi Tegangan (Utomo, 2009)	9
Gambar 2. 5 Korosi celah (Utomo, 2009).....	10
Gambar 2.6 Korosi sumuran (Utomo, 2009)	11
Gambar 2.7 Foto struktur mikro korosi sumuran (Sumarji, 2012)	11
Gambar 2.8 Foto struktur mikro korosi uniform (Sumarji, 2012)	11
Gambar 2.9 Proteksi Katodik Impressed Current (Gunaatmaja, 2011)	13
Gambar 2.10 Proteksi Katodik Anoda Korban (Gunaatmaja, 2011)	13
Gambar 2. 11 Klasifikasi Baja	17
Gambar 2.12 Proses terjadinya korosi galvanic (Wibowo, 2016)	22
Gambar 2.13 Deret galvanik	23
Gambar 2.14 Kupon untuk analisa kehilangan berat (Chodijah, 2008).....	25
Gambar 2.15 Kupon yang terkorosi (Chodijah, 2008).....	26
Gambar 3.1 Diagram Alir Penelitian	30
Gambar 3.2 luas permukaan katoda dibandingkan anoda.....	32
Gambar 4.1 Laju korosi spesimen baja A36 tanpa anoda korban.....	35
Gambar 4.2 Laju korosi spesimen baja A36 dengan luas katoda 4 x 4 (cm).....	36
Gambar 4.3 Laju korosi spesimen baja A36 dengan luas katoda ukuran 4 x 8 (cm)	37
Gambar 4.4 Laju korosi spesimen baja A36 dengan luas katoda 4 x 12 cm.....	38
Gambar 4.5 Laju korosi spesimen baja A36 dengan luasan katoda 4 x 4 cm (seng)	39
Gambar 4.6 Laju korosi spesimen baja A36 dengan luasan katoda 4 x 8 cm (seng)	40
Gambar 4.7 Laju korosi spesimen baja A36 dengan luasan katoda 4 x 12 cm(seng)	41

Gambar 4.8 Laju korosi spesimen baja A36 pada setiap interval waktu pengangkatan.....	42
Gambar 4.9 Sebelum proses perendaman tanpa anoda (A) Baja A36 ukuran 4 x 4 cm (B) Baja A36 ukuran 4 x 8 cm (C) Baja A36 ukuran 4 x 12 cm.....	44
Gambar 4.10 Sebelum proses perendaman (A) Baja A36 ukuran 4 x 4cm (B) Baja A36 ukuran 4 x 8 cm (C) Baja A36 ukuran 4 x 12 cm dengan anoda seng.....	44
Gambar 4.11 Sebelum proses perendaman (A) Baja A36 ukuran 4 x 4cm (B) Baja A36 ukuran 4 x 8 cm (C) Baja A36 ukuran 4 x 12 cm dengan anoda alumunium	45
Gambar 4.12 Pengangkatan Baja A36 (A) Ukuran 4 x 4 cm (B) Ukuran 4 x 8 cm (C) Ukuran 4 x 12 tanpa anoda hari ke 7	46
Gambar 4.13 Pengangkatan Baja A36 (A) Ukuran 4 x 4 cm (B) Ukuran 4 x 8 cm (C) Ukuran 4 x 12 cm tanpa anoda hari ke 14	46
Gambar 4.14 Pengangkatan Baja A36 (A) Ukuran 4 x 4 cm (B) Ukuran 4 x 8 cm (C) Ukuran 4 x 12 cm tanpa anoda hari ke 21	47
Gambar 4.15 Pengangkatan Baja A36 (A) Ukuran 4 x 4 cm (B) Ukuran 4 x 8 cm (C) Ukuran 4 x 12 cm tanpa anoda hari ke 28	47
Gambar 4.16 Pengangkatan Baja A36 (A) Ukuran 4 x 4 cm (B) Ukuran 4 x 8 cm (C) Ukuran 4 x 12 cm dengan anoda seng hari ke 7	48
Gambar 4.17 Pengangkatan Baja A36 (A) Ukuran 4 x 4 cm (B) Ukuran 4 x 8 cm (C) Ukuran 4 x 12 cm dengan anoda seng hari ke 14	49
Gambar 4.18 Pengangkatan Baja A36 (A) Ukuran 4 x 4 cm (B) Ukuran 4 x 8 cm (C) Ukuran 4 x 12 cm dengan anoda seng hari ke 21	49
Gambar 4.19 Pengangkatan Baja A36 (A) Ukuran 4 x 4 cm (B) Ukuran 4 x 8 cm (C) Ukuran 4 x 12 cm dengan anoda seng hari ke 28	50
Gambar 4.20 Pengangkatan Baja A36 (A) Ukuran 4 x 4 cm (B) Ukuran 4 x 8 cm (C) Ukuran 4 x 12 cm dengan anoda alumunium hari ke 7	51
Gambar 4.21 Pengangkatan Baja A36 (A) Ukuran 4 x 4 cm (B) Ukuran 4 x 8 cm (C) Ukuran 4 x 12 cm dengan anoda alumunium hari ke 14	52
Gambar 4.22 Pengangkatan Baja A36 (A) Ukuran 4 x 4 cm (B) Ukuran 4 x 8 cm (C) Ukuran 4 x 12 cm dengan anoda alumunium hari ke 21	52

Gambar 4.23 Pengangkatan Baja A36 (A) Ukuran 4 x 4 cm (B) Ukuran 4 x 8 cm (C) Ukuran 4 x 12 cm dengan anoda alumunium hari ke 28	53
Gambar 4.24 Mekanisme proteksi katodik	53
Gambar 4.25 Foto mikro baja A36 sebelum proses perendaman	54
Gambar 4.26 Mekanisme korosi uniform (merata).....	54
Gambar 4.27 Mekanisme dan foto mikro baja A36 tanpa anoda korban.....	55
Gambar 4.28 Foto mikro baja A36 dengan proteksi anoda seng ukuran (A) 4 x 4 cm, (B) 4 x 8 cm, (C) 4 x 12 cm	56
Gambar 4.29 Foto mikro baja A36 dengan proteksi anoda aluminium ukuran (A) 4 x 4 cm, (B) 4 x 8 cm, (C) 4 x 12 cm	57

DAFTAR TABEL

Tabel 2. 1 Beda Potensial (Gunaatnaja, 2011).....	14
Tabel 2.2 Komposisi dan Sifat Anoda Korban().....	15
Tabel 2.3 Komposisi Kima Baja A36 (Syahbuddin, 2003)	18
Tabel 2.4 Unsur Pokok Air Laut (Benjamin, 2006).....	20
Tabel 2.5 Tingkat ketahanan korosi (Trethewey, 1991)	24
Tabel 2.6 Desain Arus rata-rata berdasarkan kedalaman dan iklim (Det Norske Veritas Industry Norway, 1993).....	26
Tabel 2.7 Konstanta (kl dan K2) untuk perhitungan factor kerusakan pelapisan (Det Norske Veritas Industry Norway, 1993)	26
Tabel 2.8 Desain nilai Electrochemical Efficiency untuk Al dan Zn pada anoda korban (Fontana, 1986)	27

BAB 1. PENDAHULUAN

1.1 Latar Belakang

Korosi adalah sebuah masalah yang besar dalam sebuah kapal laut. Adapun baja banyak dimanfaatkan sebagai material kontruksi pada kapal laut yang mana rawan terserang korosi. Lambung kapal seiring terbuat dari baja karbon yang rentan terhadap korosi, 13 besi atau baja baru hasil pengolahannya digunakan setiap tahunnya untuk mengganti besi yang terkena korosi (widharto, 1997). Korosi secara garis besar adalah reaksi kimia antara logam dengan lingkungannya.

Adapun cara untuk menghambat laju korosi pada baja dan besi diperlukan perlindungan korosi. Mencegah korosi dapat menggunakan metode anoda korban (Buhanudin, 2000). Metode proteksi katodik ini sering digunakan pada sistem anoda korban. Adapun sistem arus banding jarang digunakan dan jenis anoda korban yang sering digunakan ialah paduan seng dan aluminium (BKI, 2006) Anoda atau Baja A36 sering dipergunakan untuk lambung kapal yang mana rentan terkena korosi sehingga perlu melakukan perawatan sekaligus proteksi korosi agar tidak terjadi kerusakan yang berkelanjutan.

Anoda korban paduan aluminium memiliki kelebihan melindungi katoda lebih baik dibanding paduan seng karena potensial proteksi besi baja dengan paduan aluminium lebih negatif dari pada paduan seng. Semakin besar luas permukaan dari anoda dan semakin banyak jumlah anoda yang digunakan dalam melindungi katoda, maka laju korosi pada yang terlindungi semakin berkurang (Afriani, 2014). Tersedianya dua jenis anoda korban tersebut memberikan pilihan pada para pemakai untuk memakai jenis anoda korban yang sesuai dengan kebutuhan, dan dasar pemilihan metode tersebut atas dasar pertimbangan kinerja kedua jenis anoda dimana meliputi massa jenis, potensial proteksi, tegangan dorong, kapsitas dan efisiensi yang dihasilkan (Anggono, 2000).

Penelitian yang telah dilakukan (Juliana, 2000), mengenai pengaruh rasio luas permukaan terhadap laju korosi dan didapatkan hasil bahwa luas anoda mempunyai efisiensi terhadap perlindungan laju korosi baja korban, Dimana anoda yang lebih luas tidak menjamin perlindungan terhadap korosi yang lebih

baik. Anoda dengan material yang berbeda mempunyai tingkat efisiensi luas yang berbeda juga. Maka dari itu anoda korban seperti aluminium, seng, dan lain sebagainya sangatlah berpengaruh terhadap laju korosi.

Atas dasar penelitian tersebut dimana menentukan rasio luas permukaan katoda pada material aluminium dan seng. Anoda korban pada katoda perlu diketahui sebagai referensi dalam melakukan perlindungan korosi, oleh sebab itu penelitian ini akan dilakukan guna mengetahui pengaruh rasio permukaan katoda dengan anoda paduan aluminium dan anoda paduan seng pada baja A36

1.2 Rumusan Masalah

Berdasarkan latar belakang di atas, berikut ini adalah beberapa masalah yang akan diselesaikan dalam penelitian ini yaitu:

1. Bagaimana pengaruh variasi rasio luas permukaan katoda terhadap laju korosi baja A36 pada media air laut?
2. Bagaimana perubahan struktur mikro permukaan baja A36 setelah dilindungi anoda korban aluminium dan seng?
3. Bagaimana laju korosi yang terjadi pada baja A36?

1.3 Batasan Masalah

Berdasarkan rumusan masalah penelitian diatas, agar pembahasan tidak terlalu luas maka diperlukan suatu pembatasan masalah sebagai berikut.

1. Kadar garam (salinitas) dan pH larutan dianggap konstan.
2. Tidak membatasi komposisi media air laut sebagai media korosi.
3. Tidak membahas korosi yang terjadi pada area lubung dan baut pada spesimen anoda dan katoda.
4. Kondisi penelitian (temperature, tekan atmofir dianggap konstan)

1.4 Tujuan dan Manfaat Penelitian

1.4.1 Tujuan

Adapun tujuan penelitian ini adalah:

1. Untuk mengetahui pengaruh variasi rasio luas permukaan katoda terhadap laju korosi baja A36 pada media air laut
2. Untuk mengetahui pengaruh perubahan struktur mikro permukaan baja A36 setelah dilindungi anoda korban aluminium dan seng
3. Untuk mengetahui perubahan laju korosi yang terjadi pada baja A36 dengan waktu perendaman yang berbeda

1.4.2 Manfaat

Manfaat penelitian ini sebagai:

1. Dapat mengetahui pengaruh variasi rasio luas permukaan katoda terhadap laju korosi baja A36 pada media air laut
2. Dapat mengetahui pengaruh perubahan struktur mikro permukaan baja A36 setelah dilindungi anoda korban aluminium dan seng
3. Dapat mengetahui perubahan laju korosi yang terjadi pada baja A36 dengan waktu perendaman yang berbeda

1.5 Hipotesis

Paduan aluminium dan seng sebagai anoda korban dapat meningkatkan ketahanan baja A36 dari serangan korosi, semakin luas permukaan katoda maka laju korosi yang diperoleh semakin meningkat.

BAB 2. TINJAUAN PUSTAKA

2.1 Pengertian Korosi

Korosi berasal dari bahasa latin “Corrodere” yang artinya perusakan logam atau berkarat akibat lingkungannya. Korosi atau pengaratan dikenal sebagai peristiwa kerusakan logam karena adanya faktor metalurgi (pada material itu sendiri) dan reaksi kimia dengan lingkungannya yang menyebabkan terjadinya penurunan kualitas suatu bahan logam (Nathan, 1997). Bahan-bahan korosif (yang dapat menyebabkan korosi) terjadi atas asam dan garam, seperti asam klorida (HCl) dan natrium klorida (NaCl) yang digunakan sebagai medium korosif. Korosi tidak dapat dicegah namun lajunya dapat dikurangi.

2.2 Prinsip Terjadinya korosi

Menurut (Supardi 1997) korosi adalah kerusakan atau degradasi logam akibat reaksi redoks antara suatu logam dengan berbagai zat di lingkungannya yang menhasilkan senyawa-senyawa yang tidak dikehendaki. Dalam bahasa sehari-hari, korosi disebut dengan perkaratan. Terdapat beberapa definisi dari beberapa pakar yaitu sebagai berikut :

1. Perusakan material tanpa perusakan mekanis
2. Kebalikan dari metalurgi ekstraktif
3. Proses elektrokima dalam mencapai kesetimbangan termodinamika suatu sistem.

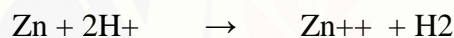
Jadi korosi adalah sistem termodinamika logam dengan lingkungan (air, udara, tanah) yang berusaha mencapai kesetimbangan. Sistem dikeategorikan seimbang bila logam telah membentuk oksida atau senyawa kimia lain yang lebih stabil.

Pada proses korosi yang terjadi, disamping karena reaksi kimia biasa, maka yang lebih umum ialah oleh proses elektrokima. Sedangkan yang dimaksud dengan lingkungan adalah dapat berupa udara dengan sinar matahari, air tawar, embun, air laut. Menurut teori korosi elektrokima, bahwa proses korosi pada logam disebabkan karena logam itu mempunyai komposisi kimia yang tidak

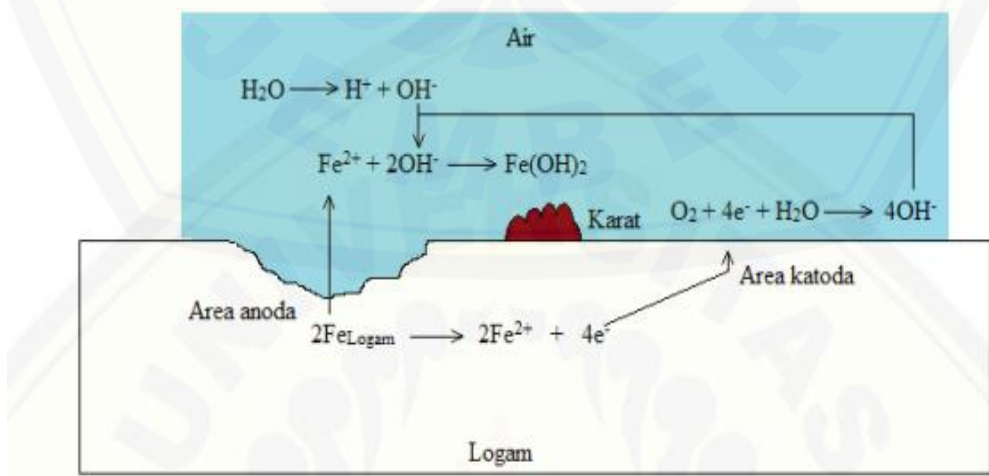
homogen. Dalam kenyataan memang logam sangat sulit untuk dibuat betul-betul homogen. Akibatnya akan terdapat perbedaan potensial yang dapat menimbulkan korosi galvanis bila ada elektrolit seperti uap air dari udara. Garam, asam, dan basa merupakan salah satu elektrolit yang akan larut dalam air, kemudian akan terjadi ionisasi didalamnya :



Baja karbon sangat mudah bereaksi dengan ion H⁺ (dari asam) dan adanya O₂ yang sangat larut dari udara. Korosi seperti ini akan berlangsung sangat cepat walaupun temperature lingkungannya rendah, karena terjadi reaksi elektrokima.



Laju korosi secara elektrokima merupakan kecepatan rata-rata perubahan ketebalan atau berat dari logam yang mengalami korosi terhadap waktu melalui proses elektrokima seperti ditunjukkan pada gambar 2.1 (Trethewey dan Chamberlain, 1991).



Gambar 2.1 Sel Korosi (Fadly, 2010)

2.3 Faktor-faktor yang mempengaruhi laju korosi

Terdapat beberapa faktor yang mempengaruhi terjadinya laju korosi yaitu sebagai berikut :

2.3.1 Sifat Material

1. Pengaruh terjadinya perbedaan potensial

Perbedaan potensial antara dua logam atau lebih yang digabung akan mengakibatkan terjadinya proses pengaratan (korosi).

2. Pengaruh unsur kimia dari material

Unsur kimia material sangatlah berpengaruh pada ketahanan terhadap serangan korosi. Pada jenis logam yang sama dengan susunan kimia yang berbeda akan mengakibatkan ketahanan terhadap serangan korosi yang berbeda. Kurangannya homogenitas struktur dapat mengakibatkan efek galvanis mikro pada material yang mengakibatkan terjadinya korosi (Supardi, 1997)

3. Pengaruh struktur dari material

Logam dengan morfologi kasar rentan terserang lorosi dikarenakan mudah menyimpan air ataupun kotoran pada permukaan material dan menyebabkan adanya oksidasi (Supardi, 1997).

2.3.2 Faktor Lingkungan

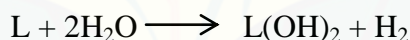
1. Lingkungan Industri

Korosi yang terjadi dilingkungan industri yang menggunakan bahan kimia seperti pada pembuatan H_2SO_4 , HNO_3 , HCl , dan sebagainya maka akan sangat bersifat korosif, adapun pengendalian korosi di lingkungan industri adalah sebagai berikut (Supardi, 1997) :

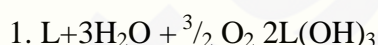
- a.) Memanfaatkan bahan non logam seperti plastik, keramik, beton, komposit, dan sebagainya dengan tidak menyampingkan keselamatan kerja.
- b.) Memberi lapisan logam pelindung yang tepat atau proteksi lainnya.

2. Lingkungan Air

Air sangatlah berpengaruh terhadap laju korosi pada logam. Air dapat memicu material melepas elektron dan berperan sebagai anoda, sehingga terjadi proses oksidasi. Korosi pada lingkungan air tergantung pada pH, kadar oksigen, dan temperatur. Baja tahan karat pada suhu 300-500°C dapat bertahan dari serangan korosi, pada suhu 600-650°C baja tahan karat akan terserang korosi dengan mudah. Menurut penelitian Whitman dan Russel ternyata pH dari suatu elektrolit sangatlah berpengaruh terjadinya korosi pada besi. Pengaturan pH dilakukan dengan pembubuhan KOH pada air yang mempunyai pH 6-14 dan pembubuhan asam pada air yang mempunyai pH 7-0, demikian juga dengan penambahan kadar O₂ dalam air maka akan mempercepat dari laju korosi pada suatu logam tersebut. Air yang terdapat dari permukaan komposit zat terlarut bergantung pada tanah yang ditempati atau tergenang. Tetapi pada umumnya zat yang terlarut lebih rendah dari pada air laut. Biasanya air permukaan mengandung Ca²⁺, Mg²⁺, NH⁴⁺, Cl⁻ dan SO₄ yang agresifitasnya lebih rendah dari air laut. Korosi yang disebabkan oleh air pada logam yang tidak mulia akan terbentuk dengan reaksi sebagai berikut (Supardi, 1997) :



Sedangkan untuk air bersih dan adanya O₂, aka nada proses oksidasi dari udara sekitarnya. Hal ini biasanya terjadi pada air yang berdekatan dengan permukaan, reaksinya adalah sebagai berikut (Supardi, 1997) :



2. Lingkungan Air Laut

Udara lingkungan air laut jauh lebih korosif dibandingkan dengan daerah pedalaman, karena udara yang berada pada lingkungan ini juga akan mengandung garam dan zat lain yang ada pada air laut.

2.4 Macam-macam korosi

Ada beberapa jenis korosi yang terjadi pada logam. Jenis ini dapat diidentifikasi dengan membuat pola dan bentuk penyebarannya. Berikut adalah macam-macam dari korosi yang sering dijumpai.

2.4.1 korosi Galvanis (*Bemetal corrosion*)

Korosi ini terjadi antara dua buah logam yang mempunyai nilai potensial berbeda dan bersatu dalam suatu medium elektrolit yang korosif. Elektron akan mengalir dari logam yang memiliki potensial lebih rendah (sebagai anodik) menuju ke logam yang memiliki potensial lebih tinggi (sebagai katodik). Akibatnya logam yang nilai potensialnya rendah berubah menjadi ion positif karena kehilangan elektron. Ion positif metal bereaksi dengan ion negatif yang berada didalam elektroloit menjadi garam metal. Karena peristiwa ini dimana permukaan anoda kehilangan metal, sehingga terbentuk sumuran-sumuran karat atau jika merata akan terbentuk karat permukaan (Eliades,2002).



Gambar 2.2 Korosi galvanis (Utomo, 2009)

2.4.2 Korosi Erosi (*Erosion Corrosion*)

Logam yang terkena korosi akibat terjadinya keausan dapat menimbulkan bagian-bagian yang tajam dan kasar, bagian ini akan menghasilkan beda potensional antara suatu bagian dengan bagian lainnya, bagian-bagian inilah yang mudah terserang korosi dan apabila terdapat gesekan maka akan timbul abrasi yang lebih berat (Eliades, 2002).



Gambar 2.3 Korosi Erosi (Utomo, 2009)

2.4.3 Korosi Tegangan (*Stress Corrosion*)

Jenis korosi ini terjadi karena adanya gaya-gaya tarik (tensile) atau kompresi (compressive) berpengaruh sangat kecil pada proses pengaratan. Adanya kombinasi antara regangan tarik (tensile stress) dan lingkungan yang korosif, maka akan terjadi kegagalan material berupa retakan yang disebut retak karat regangan (Utomo, 2009)



Gambar 2.4 Korosi Tegangan (Utomo, 2009)

2.4.4 Korosi Celah (*Crevice Corrosion*)

Korosi yang terjadi pada logam yang bedempetan dengan logam lain atau non logam dan diantaranya terdapat celah yang dapat menahan kotoran dan air sebagai sumber terjadinya korosi. Konsentrasi oksigen pada celah lebih kaya dibandingkan pada bagian dalam, sehingga bagian dalam lebih anodik dan bagian luar menjadi katodik maka terjadi aliran arus dari dalam menuju permukaan logam yang menimbulkan korosi. Atau juga perbedaan konsentrasi zat asam dimana celah sempit yang terisi elektrolit (pH rendah) maka akan terjadi sel korosi. Maka pada daerah ini korosi yang terjadi disebabkan karena kedua bagian akan berperan sebagai anoda dan katoda (Eliades, 2002).



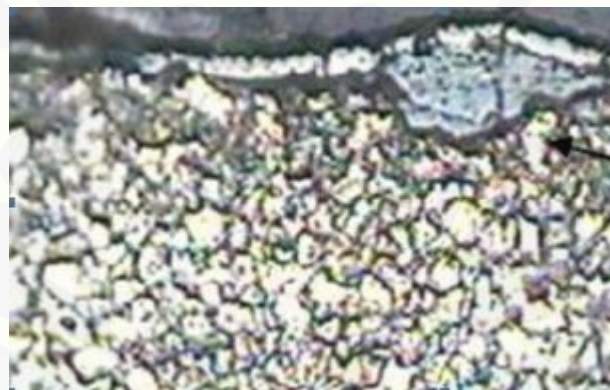
Gambar 2. 5 Korosi celah (Utomo, 2009)

2.4.5 Korosi Sumuran (*paitting Corrosion*)

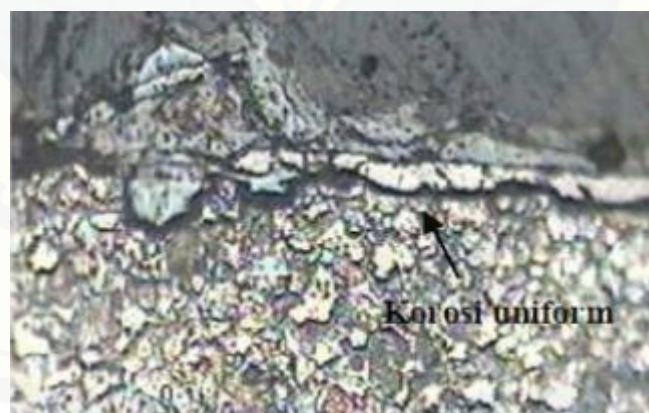
Korosi sumuran adalah korosi yang terjadi karena komposisi logam yang tidak homogen dan menyebabkan korosi yang dalam pada berbagai tempat (Eliades, 2002).



Gambar 2.6 Korosi sumuran (Utomo, 2009)



Gambar 2.7 Foto struktur mikro korosi sumuran (Sumarji, 2012)



Gambar 2.8 Foto struktur mikro korosi uniform (Sumarji, 2012)

2.5 Proteksi Katodik

Proteksi katodik adalah suatu teknik untuk melindungi korosi pada suatu logam. Terjadinya aliran elektron dari anoda ke katoda pada struktur baja didalam elektrolit harus ditahan menggunakan aliran arus listrik dari anoda lain. Proteksi katodik dibagi menjadi dua cara, yaitu :

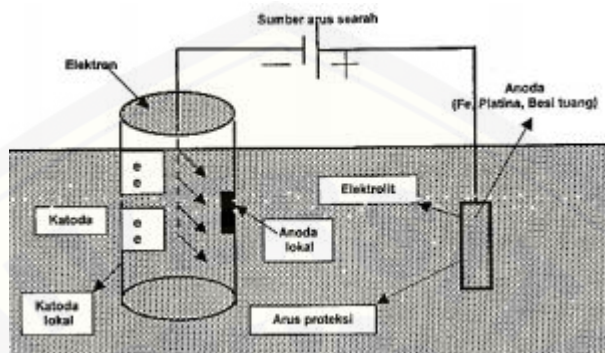
2.5.1 Arus Paksa

Berbeda dengan sistem anoda korban, sumber arus pada sistem arus tanding berasal dari luar, biasanya berasal dari DC dan AC yang dilengkapi dengan penyearah arus (*rectifier*), dimana kutup negatif dihubungkan ke struktur yang dilindungi dan kutup positif dihubungkan ke anoda. Arus mengalir dari anoda ke elktroloit ke permukaan struktur, kemudian mengalir sepanjang struktur dan kembali ke *rectifier* melalui konduktor elektris. Karena struktur menerima arus elektrik, maka struktur menjadi terproteksi. Keluaran (*output*) arus rectifier diatur untuk mengalirkan arus yang cukup sehingga dapat mencegah arus korosi yang akan meninggalkan daerah anoda yang dilindungi. (Pribadi Ridzky, 2017)

Sistem arus tanding digunakan untuk melindungi struktur yang besar atau yang membutuhkan arus proteksi yang lebih besar atau yang membutuhkan arus proteksi yang lebih besar dan dipandang kurang ekonomis jika menggunakan anoda korban. Sistem ini dapat dipakai untuk menlindungi struktur baik yang tidak di *coating*. Kondisi *coating* yang krang baik maupun yang kondisi *coating* nya baik. Kelebihan system arus ini adalah dapat didesain untuk aplikasi dengan tingkat fleksibilitas yang tinggi karena mepunyai rentang kapasitas output arus yang luas. Artinya kebutuhan arus dapat diatur baik secara manual maupun secara otomatis dengan merubah tegangan output sesuai dengan kebutuhan. Sedangkan kekurangannya adalah memperlukan perwatan yang lebih banyak dibanding system anoda korban sehingga biaya operasional akan bertambah. System ini juga mempunyai ketergantungan terhadap keandalan pemasok energi (*rectifier*) kinerja sistem proteksi. Kekurangan lain sistem arus paksa yaitu cenderung lebih mahal karena peralatan dan bahan yang digunakan lebih banyak. Disamping itu ada kemungkinan dapat menimbulkan masaah efek interfrens arus terhadap struktur di sekitarannya.

2.5.2 Metode Arus Terpasang (*Impressed Current*)

Metode ini menggunakan metode arus searah dari luar, misalnya transformer rectifier, DC generator, dan lain sebagainya. Rangkaian ini dapat dilihat sebagai berikut:

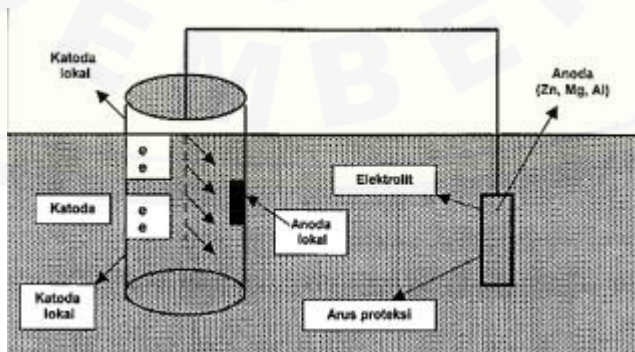


Gambar 2.9 Proteksi Katodik Impressed Current (Gunaatmaja, 2011)

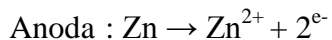
Arus listrik pada sistem ini dialirkan dipermukaan logam yang berproteksi melalui anoda pembantu seperti graphite, baja, platina, dan besi tuang. Keuntungan dari metode arus terpasang ini adalah bahwa sistem tersebut dapat menggunakan anoda yang tidak termakan.

2.5.3 Metode Anoda Korban (*Sacrificial Anode*)

Proses dari metode ini adalah korosi logam dengan mengorbankan logam lain sebagai anoda. Logam yang dikorbankan harus mempunyai potensial listrik lebih negatif dari logam yang diproteksi supaya terjadi aliran elektron dari anoda ke katoda. Aliran elektron ini akan berlangsung terus sampai logam anoda dan katoda terjadi reaksi:



Gambar 2.10 Proteksi Katodik Anoda Korban (Gunaatmaja, 2011)



Pada sistem dengan pengorbanan anoda sebagai sumber arus searah digunakan anoda reaktif dengan potensial jauh lebih negatif dari pada logam yang diproteksi yang biasanya menggunakan logam paduan magnesium, seng, dan alumunium.

Tabel 2. 1 Beda Potensial (Gunaatnaja, 2011)

Logam	Harga	Normal Pontensial dalam Volt	
Emas	Au^{3+}	+1,42	Katodik
Platina	Pt^{2+}	+1,20	
Perak	Ag^+	+0,80	
Tembaga	Cu^+	+0,34	
Hidrogen	H^+	+0,00	Dijadikan Standar
Timbal	Pb^{2+}	-0,13	
Timah Putih	Sn^{2+}	-0,14	
Nikel	Ni^{2+}	-0,25	
Kadmium	Cd^{2+}	-0,40	
Besi	Fe^{2+}	-0,43	
Khrom	Cr^{2+}	-0,51	
Seng	Zn^{2+}	-0,76	
Aluminium	Al^{3+}	-1,67	
Magnesium	Mg^{2+}	-2,34	
Natrium	Na^+	-2,74	
Kalium	K^+	-2,92	
Lithium	Li^+	-3,02	Anodik

Anoda reaktif dihubungkan dengan logam yang diproteksi, arus listrik dialirkan ke permukaan logam yang diproteksi melalui elektrolit. Faktor yang mempengaruhi proses proteksi katodik yaitu :

1. Luas permukaan yang akan diproteksi, semakin luas permukaan semakin banyak anoda yang digunakan.
2. Beda potensial listrik antara anoda dan katoda, semakin besar perbedaan maka semakin besar arus proteksi dari anoda ke katoda.
3. Logam dan ukuran anoda, semakin kecil tahanan anoda berarti semakin sedikit penggunaan logam anoda. Semakin kecil ukuran logam anoda semakin besar tahanan anoda berarti semakin banyak penggunaan anoda. Anoda korban harus bersifat anodik terhadap baja didalam lingkungan yang diamati, anoda ini harus mudah terkorosi.

Tabel 2.2 Komposisi dan Sifat Anoda Korban()

Sifat	Paduan Seng*	Paduan Alumunium**	Paduan Magnesium***
1	2	3	4
Komponen (%)	Al : 0,4 – 0,6 Cd : 0,075–0,125 Cu : < 0,005 Fe : < 0,0014 Tb : < 0,15 Si : < 0,125 Zn : sisa	Al : sisa Cu : < 0,006 Fe : < 0,1 Hg : 0,02 – 0,05 Si : 0,11 – 0,21 Zn : 0,3 – 0,5 Lain-lain,masing-masing < 0,02	Al : < 0,01 Cu : 0,02 Fe : < 0,03 Mg : rem Mn : 0,5 – 1,3 Ni : 0,001 Pb : < 0,01 Sn : < 0,01 Zn : 0,01
Kapasitas E_{kor} (SSC)	780 Ah·kg ⁻¹ -0,1050 mV	2640 Ah·kg ⁻¹ -0,1000 mV	1232 Ah·kg ⁻¹ -0,1700 mV
Kerapatan kg·m ⁻³	7060	2695	1765
Kapasitas Ah·kg ⁻¹	780	2,640	1,232
Pengausan(berat) Kg – Ay ⁻¹	10,7	3,2	4,1
Pengausan(volume) ml – Ay ⁻¹	1518	1180	1196
Keluaran Am ⁻²	6,5	6,5	10,8
E_{kor} (SSC) mv	-1050	-1050	-1700

SSC = Ag/AgCl

* = Spesifikasi Departemen AS untuk bahan Anoda Korban Seng membutuhkan pengontrolan lebih ketat dalam hal tingkat kemurnian dari pada bahan ini.

** = Merk dagang *Impalloy**** = Merk dagang *Dow Chemical Company*

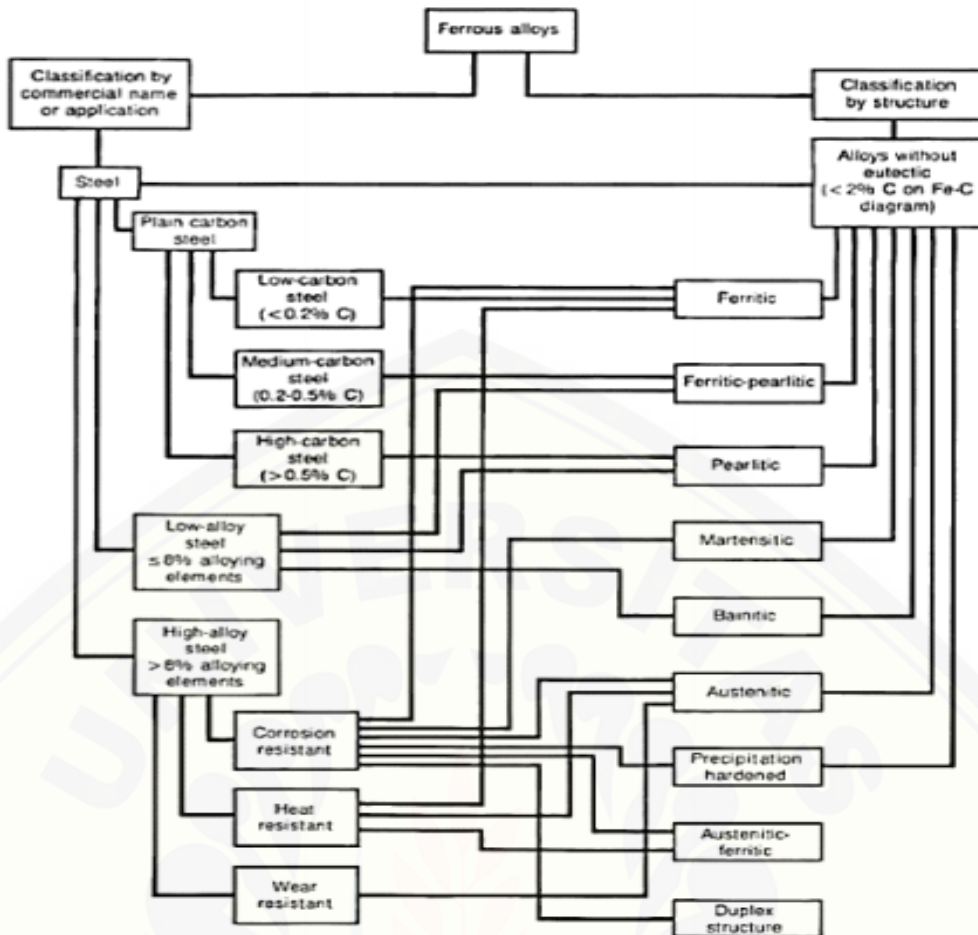
Bahan anoda korban yang umum untuk baja dalam air laut adalah seng, Sir Humprey Davy dalam tahun 1824 melaporkan, keberhasilan penggunaan anoda seng untuk melindungi tembaga pada kapal perang. Seng digunakan untuk proteksi katodik di air laut dan air tawar, seng khususnya sangat sesuai untuk proteksi katodik di kapal-kapal yang bergerak antara air laut da air (muara

sungai). Anoda seng yang digunakan untuk melindungi bantalan-bantalan tangi, pengubah panas dan banyak komponen-komponen mekanis pada kapal., pembagkit listrik pantai dan struktur pada pantai. Anoda magnesium adalah anoda korban yang bias dispesifikasikan untuk penggunaan ditanam didalam tanah. Khususnya anoda magnesium, di Amerika Serikat tersedia dengan kemasan terbungkus lempung bentonit didalam kantong kain. Bungkus ini menjamin bahwa anoda bersifat konduktif lingkungan dan mudah terkorosi. Beberapa magnesium telah digunakan untuk struktur lepas pantai. Aluminium juga digunakan pada struktur lrpas pantai dikarenakan beratnya yang ringan dab menguntungkan, aluminium tidaklah pasif didalam air garam apabila ada tambahan logam seperti titanium dan merkuri.

2.6 Baja

2.6.1 Baja Secara Umum

Baja karbon merupakan material yang paling banyak dikarenakan murah dan mudah untuk dibentuk. Baja adalah material dengan besi (Fe) sebagai bahan dasar dan memiliki kandungan karbon (C) kurang dari 2% dan juga menambah sedikit unsur lainnya untuk memperbaiki sifat mekanisnya. Berikut adalah kasifikasi dari baja



Gambar 2. 11 Klasifikasi Baja

Berdasarkan kadar karbonya baja dibagi menjadi 3 yaitu :

1. Baja karbon rendah

Baja karbon rendah merupakan bahan yang mengandung kurang dari 0,25% unsur karbon, produk baja ini berbentuk plat hasil pembentukan pelat hasil permukaan roll dingin dan proses (*annealing*). Kandungan karbon yang rendah dengan mikrostruktur yang terdiri dari fasa ferit dan pearlit menjadikan baja karbon rendah bersifat lunak dan kekuatannya lemah namun keuletan ketangguhannya sangat baik (Amanto dan Daryanto, 1999)

2. Baja karbon sedang

Baja karbon sedang merupakan baja yang mengandung 0,3-0,6% unsur karbon (*medium carbon steel*). Memiliki kekuatan lebih tinggi bila dibandingkan baja karbon rendah. Sifatnya tidak mudah dibentuk dengan mesin, lebih sulit dilakukan pengelasan, namun dapat dikeraskan (*quenching*)

dengan baik. Aplikasi pengguna antara lain roda gigi dan poros, bahan pada komponen mesin dan lain sebagainya (Amanto dan Daryanto, 1999).

3. Baja karbon tinggi

Baja karbon tinggi merupakan baja karbon yang mengandung 0,6-0,14% unsur karbon (high carbon steel). Memiliki sifat sangat kuat, sangat keras dang getas, sulit untuk dibentuk dengan pemesinan. Aplikasi penggunaannya seperti pada baja kawat, kabel tarik dan angkat, kikir pahat, dan lain sebagainya (Amanto dan Daryanto, 1999).

2.6.2 Baja A36

Baja A36 merupakan baja karbon rendah, A36 atau JIS 3101 adalah (*mild steel*) dimana komposisi kimianya hanya karbon (C), Manganesium (Mn), Silikon (Si), Sulfur (S), dan Posfor (P), yang digunakan untuk aplikasi struktur atau konstruksi umum (*general purpose structural steel*) misalnya untuk jembatan, pelat kapal laut, oli tank, dan lain sebagainya.

Baja A36 merupakan baja karbon dengan sedikit kandungan Si, beberapa hasil penelitian menemukan bahwa kandungan Si pada baja A36 antara 0,06 - 0,37%. Kadar Si pada baja dapat meningkatkan reaksi antara Fe dan Zn selama galvanis. Akibatnya, pertumbuhan lapisan intermetalik Fe-Zn pada baja yang mengandung Si relatif cepat (Syahbuddin, 2003).

Tabel 2.3 Komposisi Kimia Baja A36 (Syahbuddin, 2003)

C	Si	Mn	P	S	Ni	Cr	Fe
0,2	0,09	0,53	0,01	0,04	0,03	0,03	Balance

2.7 Bahan Anoda Korban

2.7.1 Aluminium

Pada aluminium merupakan logam non ferrous. Paduan ini sering digunakan sebagai anoda korban karena memiliki nilai energi potensial yang lebih negatif dibandingkan baja. Anoda korban bekerja berdasarkan prinsip proteksi katodik. Permukaan struktur logam di air laut diubah menjadi berdifikat katodik melalui pemberian arus yang berasal dari amoda korban tersebut (Anggono, 2000). Aluminium membentuk lapisan pasif yang dapat dipecah oleh ion Cl^- yang banyak terdapat di air laut. Komposisi paduan aluminium yang biasa digunakan sebagai anoda korban terdiri dari tembaga, seng, silikon, titanium, indium (Fadly, 2009).

Dalam keadaan normal aluminium mengalami korosi sumuran dalam air laut yang diakibatkan oleh lapisan oksida yang bersifat katodik yang selalu membungkus aluminium ketika masih berada di udara bebas. Unsur paduan yang ditambahkan dapat mencegah terbungkusnya selaput oksida yang merata, merekat erat dan proteksi sehingga ketika galvanis terus berlangsung. Dengan tujuan inilah beberapa orang mengembangkan paduan aluminium yang menggunakan seng dari air raksa atau seng dan indium. Paduan aluminium mempunyai nasib daya listrik atau berat yang lebih besar dibandingkan dengan paduan seng dan penggunaan paduan aluminium mulai mengantikan penggunaan seng dalam beberapa penerapan khususnya pada industry lepas pantai (Trethewey, 1991).

2.7.2 Seng (Zinc)

Secara volume, *zinc* lebih banyak digunakan sebagai anoda dibandingkan aluminium. Dikarenakan sifat-sifat dari moderatnya *zinc*, dan laju oksidasi yang lebih rendah dibanding logam aluminium. *Zinc* lebih baik dari pada aluminium karena perilaku elektrolit kima aluminium yang cenderung mudah teroksidasi, dan akan pasif pada kosentrasi ion klorida dibawah 1.446 ppm (1 ppm= 1 part million/ 1 per 1juta).

Dari sudut padang yang berbeda, seng murni yang terkorosi di air laut membentuk sebuah lapisan kulit kedap air yang membatasi keluaran arusnya (Trethewey, 1991). Hal ini menjadi anoda tidak dapat bekerja secara efektif.

Penambahan unsur lain pada paduan seng memberikan keuntungan pada proteksi katodik anoda korban karena proses galvanis dapat terus berulang.

2.8 Air Laut

Air laut merupakan media dalam proses terjadinya korosi. Sebagian besar laju korosi pada konstruksi baja di laut ataupun di pesisir pantai sangatlah terpengaruh oleh ion-ion yang terdapat pada laut yang terbawa angin hingga sampai pada konstruksi. Korosi pada air laut sangat tergantung pada (Sasono, 2010)

- a. Kadar klorida
- b. pH
- c. Kadar oksigen
- d. Temperatur

Tabel 2.4 Unsur Pokok Air Laut (Benjamin, 2006)

Anion	Kation
Chloride, Cl ⁻	Sodium, Na ⁺
Sulfate, SO ₄ ²⁻	Magnesium, Mg ²⁺
Bicarbonate, HCO ³⁻	Calcium, Ca ²⁺
Bromine, Br ⁻	Potassium, K ⁺
Flouride, F ⁻	Sodium, Sr ²⁺
Boric acid, H ₃ BO ₃	

2.8.1 Organisme laut

Air laut merupakan media yang aktif bagi sejumlah mikro organisme. Mikro organisme ini bersama-sama dengan permukaan logam dalam air laut akan membentuk biofouling yang mengakibatkan terjadinya korosi merata. Larutnya beberapa partikel padat pada air laut akan menimbulkan proses dinamik yang terus menerus, dimulai dari absorbs material organik terlarut mati dan terjadi pembentukan lapisan film yang disebabkan oleh gangguan dan bakteri dimana akan menyebabkan terjadinya tumbuhan hidup. Terbentuknya lapisan film ini hanya dalam waktu relatif singkat, yaitu dua jam dari saat logam dicelupkan

kedalam air laut. Lapisan ini akan mengubah sifat kimia pada permukaan logam dalam elektrolit (Pamungkas, 2012).

2.8.2 Salinitas

Adalah jumlah kadar garam non organik dalam 1kg air laut apabila seluruh unsur bromida dan iodida digantikan dengan jumlah yang sesuai dari unsur klorida dan semua unsur karbonat digantikan dengan unsur oksida (Pamugkan, 2012).

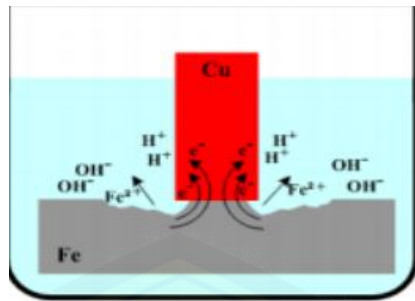
2.9 Pengendalian Korosi

Korosi merupakan masalah besar pada material khususnya logam yang sampai dewasa ini belum dapat dihentikan, namun demikian pengendalian dan pencegahan korosi harus tetap dilakukan secara maksimal, karena akibat yang ditimbulkan dari korosi tidak sebatas pada kerugian ekonomi namun juga pada resiko kecelakaan jerja yang mengancam keselamatan. Adapun metode-metode yang dilakukan dalam pengendalian korosi sebagai berikut :

1. Metode anoda korban
2. Metode inhibitor
3. Metode pelapisan

2.10 Deret Galvanik

Deret galvanik ini berkaitan dengan terjadinya korosi galvanik, korosi ini terjadi apabila dua logam yang tidak sama dihubungkan dan berada di lingkungan elektrolit, saat terjadi kontak kedua logam yang memiliki beda potensial tersebut akan menghasilkan aliran elektrik atau listrik sehingga salah satu dari logam tersebut akan mengalami korosi, sedangkan logam lainnya akan terlindungi dari serangan korosi. Dalam korosi ini, logam yang memiliki potensial lebih positif akan bersifat katodik, sedangkan yang berpotensial negatif akan bersifat anodik (Wibowo, 2016).



Gambar 2.12 Proses terjadinya korosi galvanic (Wibowo, 2016)

Prinsip korosi galvanic ini sama dengan elektrokima yaitu terdapat elektron (anoda dan katoda), elektrolit dan arus listrik. Logam yang berfungsi sebagai anoda adalah logam yang belum terhubung bersifat lebih aktif atau mempunyai potensial korosi lebih negatif. Pada anoda akan terjadi reaksi oksidasi atau reaksi perlarutan sedangkan pada katoda terjadi reaksi reduksi logam dan pada logam katoda akan menempel ion-ion dari anoda (Wibowo, 2016). Berikut daftar urutan logam dalam deret galvanik :

Standard Reduction Potentials at 25°C*	
Half-Reaction	$E^\circ(V)$
$\text{F}_2(g) + 2e^- \rightarrow 2\text{F}^-(aq)$	+2.87
$\text{O}_3(g) + 2\text{H}^+(aq) + 2e^- \rightarrow \text{O}_2(g) + \text{H}_2\text{O}$	+2.07
$\text{Co}^{3+}(aq) + e^- \rightarrow \text{Co}^{2+}(aq)$	+1.82
$\text{H}_2\text{O}_2(aq) + 2\text{H}^+(aq) + 2e^- \rightarrow 2\text{H}_2\text{O}$	+1.77
$\text{PbO}_2(s) + 4\text{H}^+(aq) + \text{SO}_4^{2-}(aq) + 2e^- \rightarrow \text{PbSO}_4(s) + 2\text{H}_2\text{O}$	+1.70
$\text{Ce}^{4+}(aq) + e^- \rightarrow \text{Ce}^{3+}(aq)$	+1.61
$\text{MnO}_4^-(aq) + 8\text{H}^+(aq) + 5e^- \rightarrow \text{Mn}^{2+}(aq) + 4\text{H}_2\text{O}$	+1.51
$\text{Au}^{3+}(aq) + 3e^- \rightarrow \text{Au}(s)$	+1.50
$\text{Cl}_2(g) + 2e^- \rightarrow 2\text{Cl}^-(aq)$	+1.36
$\text{Cr}_2\text{O}_7^{2-}(aq) + 14\text{H}^+(aq) + 6e^- \rightarrow 2\text{Cr}^{3+}(aq) + 7\text{H}_2\text{O}$	+1.33
$\text{MnO}_2(s) + 4\text{H}^+(aq) + 2e^- \rightarrow \text{Mn}^{2+}(aq) + 2\text{H}_2\text{O}$	+1.23
$\text{O}_2(g) + 4\text{H}^+(aq) + 4e^- \rightarrow 2\text{H}_2\text{O}$	+1.23
$\text{Br}_2(l) + 2e^- \rightarrow 2\text{Br}^-(aq)$	+1.07
$\text{NO}_3^-(aq) + 4\text{H}^+(aq) + 3e^- \rightarrow \text{NO}(g) + 2\text{H}_2\text{O}$	+0.96
$2\text{Hg}^{2+}(aq) + 2e^- \rightarrow \text{Hg}_2^{2+}(aq)$	+0.92
$\text{Hg}_2^{2+}(aq) + 2e^- \rightarrow 2\text{Hg}(l)$	+0.85
$\text{Ag}^+(aq) + e^- \rightarrow \text{Ag}(s)$	+0.80
$\text{Fe}^{3+}(aq) + e^- \rightarrow \text{Fe}^{2+}(aq)$	+0.77
$\text{O}_2(g) + 2\text{H}^+(aq) + 2e^- \rightarrow \text{H}_2\text{O}_2(aq)$	+0.68
$\text{MnO}_4^-(aq) + 2\text{H}_2\text{O} + 3e^- \rightarrow \text{MnO}_2(s) + 4\text{OH}^-(aq)$	+0.59
$\text{I}_2(s) + 2e^- \rightarrow 2\text{I}^-(aq)$	+0.53
$\text{O}_2(g) + 2\text{H}_2\text{O} + 4e^- \rightarrow 4\text{OH}^-(aq)$	+0.40
$\text{Cu}^{2+}(aq) + 2e^- \rightarrow \text{Cu}(s)$	+0.34
$\text{AgCl}(s) + e^- \rightarrow \text{Ag}(s) + \text{Cl}^-(aq)$	+0.22
$\text{SO}_3^{2-}(aq) + 4\text{H}^+(aq) + 2e^- \rightarrow \text{SO}_2(g) + 2\text{H}_2\text{O}$	+0.20
$\text{Cu}^{2+}(aq) + e^- \rightarrow \text{Cu}^+(aq)$	+0.15
$2\text{H}^+(aq) + 2e^- \rightarrow \text{Sn}^{2+}(aq)$	+0.13
$2\text{H}^+(aq) + 2e^- \rightarrow \text{H}_2(g)$	0.00
$\text{Pb}^{2+}(aq) + 2e^- \rightarrow \text{Pb}(s)$	-0.13
$\text{Sn}^{2+}(aq) + 2e^- \rightarrow \text{Sn}(s)$	-0.14
$\text{Ni}^{2+}(aq) + 2e^- \rightarrow \text{Ni}(s)$	-0.25
$\text{Co}^{2+}(aq) + 2e^- \rightarrow \text{Co}(s)$	-0.28
$\text{PbSO}_4(s) + 2e^- \rightarrow \text{Pb}(s) + \text{SO}_4^{2-}(aq)$	-0.31
$\text{Cd}^{2+}(aq) + 2e^- \rightarrow \text{Cd}(s)$	-0.40
$\text{Fe}^{3+}(aq) + 2e^- \rightarrow \text{Fe}(s)$	-0.44
$\text{Cr}^{3+}(aq) + 3e^- \rightarrow \text{Cr}(s)$	-0.74
$\text{Zn}^{2+}(aq) + 2e^- \rightarrow \text{Zn}(s)$	-0.76
$2\text{H}_2\text{O} + 2e^- \rightarrow \text{H}_2(g) + 2\text{OH}^-(aq)$	-0.83
$\text{Mn}^{2+}(aq) + 2e^- \rightarrow \text{Mn}(s)$	-1.18
$\text{Al}^{3+}(aq) + 3e^- \rightarrow \text{Al}(s)$	-1.66
$\text{Be}^{2+}(aq) + 2e^- \rightarrow \text{Be}(s)$	-1.85
$\text{Mg}^{2+}(aq) + 2e^- \rightarrow \text{Mg}(s)$	-2.37
$\text{Na}^+(aq) + e^- \rightarrow \text{Na}(s)$	-2.71
$\text{Ca}^{2+}(aq) + 2e^- \rightarrow \text{Ca}(s)$	-2.87
$\text{Sr}^{2+}(aq) + 2e^- \rightarrow \text{Sr}(s)$	-2.89
$\text{Ba}^{2+}(aq) + 2e^- \rightarrow \text{Ba}(s)$	-2.90
$\text{K}^+(aq) + e^- \rightarrow \text{K}(s)$	-2.93
$\text{Li}^+(aq) + e^- \rightarrow \text{Li}(s)$	-3.05

*For all half-reactions the concentration is 1 M for dissolved species and the pressure is 1 atm for gases. These are the standard-state values.

Gambar 2.13 Deret galvanik

2.11 Perhitungan Laju Korosi Pelat baja dengan perlindungan Anoda Korban

Parameter yang biasa digunakan untuk menghitung laju korosi adalah keluaran arus persatuan luas permukaan terbuka yang juga disebut laju pengausan (wastage). Laju korosi juga dinyatakan sebagai hilangnya satuan massa perluas permukaan pertahun. Laju korosi dapat dinyatakan sebagai berikut (Trethewey, 1991) :

$$CR = \frac{K X W}{A X D T}$$

dimana :

- CR = Laju korosi (mm/th)
- W = Massa yang terkorosi (gram)
- A = Luas tercelup (cm^2)
- K = $8,76 \times 10^4$
- T = Waktu (jam)
- D = Densitas (gram/ cm^3)

Tabel 2.5 Tingkat ketahanan korosi (Trethewey, 1991)

Relative Corrosion Resistance	Approximate Metric Equivalent				
	mpy	mm/tahun	$\mu\text{m}/\text{yr}$	nm/yr	Pm/sec
Outstanding	<1	<0,02	<25	<2	<1
Excellent	1-5	0,02-0,1	25-100	2-10	1-5
Good	5-20	0,1-0,5	100-500	10-50	5-20
Fair	20-50	0,5-1	500-1000	50-100	20-50
Poor	50-200	42125	1000-5000	150-500	50-200
Unacceptable	200+	5+	5000+	500+	200+

2.12 Metode Kehilangan Berat (*Weight Loss*)

Metode ini digunakan untuk menentukan laju korosi dalam berbagai lingkungan. Metode ini berdasarkan ASTM G1, G4, A90 dan NACE RP0775. Specimen kupon digunakan guna mengetahui pengutangan total berat pada periode perendaman, hal ini menunjukkan korosi yang terjadi, kupon tunggal tidak dapat digunakan untuk menentukan kecepatan korosi namun dapat ditentukan dengan beberapa pengujian kupon pada satu waktu dan evaluasi kupon pada interval waktu yang pendek (Chodijah, 2008).



Gambar 2.14 Kupon untuk analisa kehilangan berat (Chodijah, 2008)

Dalam mempersiapkan kupon, kupon harus bersih dari semua kontaminasi produk pengotor seperti debu, minyak dan produk yang berkarat, pengoperasian pengamplasan harus dilakukan sangat berhati-hati untuk menghindari temperatur tinggi pada permukaan yang akan mempengaruhi mikrostruktur kupon. Untuk setiap sudut kupon harus dipoles untuk menghindari adanya konsentrasi tegangan yang mengarah pada korosi karena retak tegangan. Karena jumlah kupon yang ditanam lebih dari satu sehingga pemberian nomor seri menjadi sangatlah penting penganalisisan. Setelah proses preparasi sampel, data berat, dimensi dan nomor serinya dicatat lalu tidak kalah penting juga penduplikasian foto permukaan untuk data perbandingan setelah penanaman (Chodijah, 2008).

Tipe kupon memiliki ukuran dan konfigurasi yang berbeda-beda tergantung alat yang digunakan (holder) atau keinginan dari pengguna. Komposisi kupon terbuat dari 0.1 hingga 0.2% baja karbon dalam bentuk strip atau plate yang memiliki kemudahan dalam penggerjaannya. Waktu penanaman harus dipertimbangkan ketika penginterpretasi data kupon korosi. Waktu pendek penanaman (15 hingga 45 hari) sudah dapat menunjukkan kecepatan korosi dari suatu logam. Untuk waktu penanaman yang panjang (60 hingga 90 hari) sering digunakan untuk mendeteksi serangan pitting (Chodijah, 2008).



Gambar 2.15 Kupon yang terkorosi (Chodijah, 2008)

Untuk mengetahui *weight loss* yang terjadi pada benda kerja, dilakukan penimbangan spesimen atau kupon sebelum dan sesudah proses pengujian. Proses penimbangan tersebut menggunakan timbangan.

2.13 Perhitungan Kebutuhan Anoda

Luas permukaan basa (*wetted surface area*) merupakan rancang bangun luas permukaan lambung kapal yang tercelup di dalam air laut sangatlah diperlukan, untuk menentukan berapa banyak anoda yang diperlukan, tempat peletakan anoda korban, dan lain sebagainya. Rumus dan table yang diperlukan dalam perhitungan mengacau pada standar Det Veritas Industry Norway AS, RP B401 yang terdapat dalam table sebagai berikut :

Tabel 2.6 Desain Arus rata-rata berdasarkan kedalaman dan iklim (Det Norske Veritas Industry Norway, 1993)

Kedalaman (m)	Desain arus densitas (rata-rata) dalam A/m ²			
	Tropical (>20 °c)	Sub- tropical (12-20°c)	Beriklim sedang (7-12°c)	Sangat dingin (<7°c)
0 ≤ 30	0,070	0,080	0,100	0,120
> 30	0,060	0,070	0,080	0,100

Tabel 2.7 Konstanta (kl dan K2) untuk perhitungan faktor kerusakan pelapisan (Det Norske Veritas Industry Norway, 1993)

Kedalaman (m)	Kategori Pelapis			
	I (k1 = 0,1) K2	II (k1 = 0,05) K2	III (k1 = 0,02) K2	IV (k1 = 0,02) K2
0 ≤ 30	0,10	0,03	0,015	0,012

Tabel 2.8 Desain nilai Electrochemical Efficiency untuk Al dan Zn pada anoda korban
(Fontana, 1986)

Macam material anoda	Electrochemical efficiency (Ah/kg)
Al	2000
Zn	700

Ada beberapa desain anoda korban diantaranya adalah dengan pola horizontal dan vertikal dimana pola horizontal (*long slenderstand off*) dan (*long flus-mounted*) memiliki kinerja yang optimal bila digunakan pada katoda dengan dimensi panjang lebih besar dari 4 kali tebal katoda. Sedangkan untuk (*short flush-mounted*) vertical memiliki kinerja yang baik bila digunakan pada desain katoda dengan dimensi lebih kecil dari 4 kali tebal katoda.

Kebutuhan berat anoda korban paduan aluminium dapat dihitung dengan persamaan (Espelid, 1996) :

$$M = \frac{I_c \times T \times 8760}{\mu \times \varepsilon}$$

Dimana :

- ❖ M = Berat Anoda Korban (kg)
- ❖ I_c = Kebutuhan Arus Proteksi (Ampere)
- = $A_c \times F_c \times I_c$
- ❖ T = Umur Proteksi (tahun)
- ❖ μ = Faktor Guna Anoda Korban
- ❖ ε = Electrochemical efficiency (Ah/kg)
- ❖ A_c = Luas Pelat Baja Yang diproteksi dengan paduan Aluminium (m^2)

BAB 3. METODE PENELITIAN

3.1 Waktu dan Tempat

Penelitian tersebut akan dilaksanakan di Laboratorium Uji Material dan Laboratorium terapan jurusan Teknik Mesin Fakultas Teknik Universitas Jember pada bulan Juli 2019 sampai dengan bulan November 2019. Penelitian tersebut adalah metode eksperimental tentang pengaruh anoda tumbal aluminium dan seng terhadap laju korosi yang terdapat pada baja A36.

3.2 Alat dan Bahan

3.2.1 Alat

1. Mur dan baut
2. Timbangan digital
3. Wadah elektrolit
4. Gergaji
5. Gerinda
6. Mesin bor
7. Jangka sorong
8. Kamera
9. Mikroskop

3.2.2 Bahan

1. Anoda korban aluminium (Al)
2. Anoda korban seng (Zn)
3. Plat baja A36
4. Kertas amplas
5. Resin
6. Ethanol
7. Air laut
8. Etsa
9. Aquades

10. Katalis
11. Kain bersih

3.3 Variabel Pengukuran

3.3.1 Variabel bebas atau variable penyebab (*dependent variables*)

Variable bebas adalah variable yang menyebabkan atau mempengaruhi, yaitu faktor-faktor yang diukur, dipilih oleh penelitian untuk menentukan hubungan antara fenomena yang diamati. Adapun variable bebas yang digunakan yaitu :

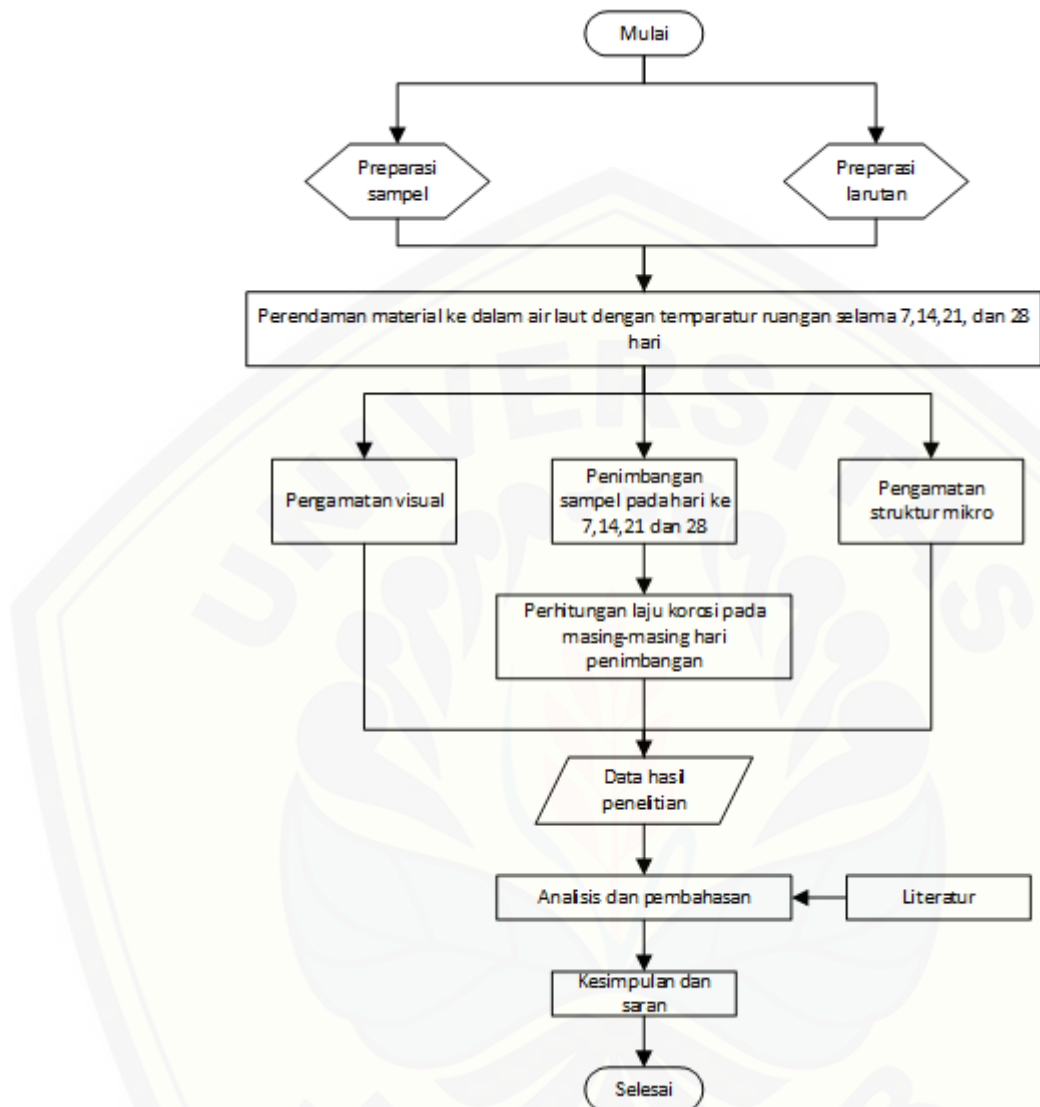
- a.) Jenis anoda
- b.) Luas katoda
- c.) Lama waktu perendaman

3.3.2 Variabel terikat atau variable tergantung (*dependent variables*)

Variable terikat adalah faktor-faktor yang diteliti dan diukur untuk menentukan adanya pengaruh variable bebas, yaitu faktor yang muncul, atau tidak muncul, maupun berubah sesuai dengan yang diperkirakan oleh penelitian. Adapun variable terikat yang digunakan yaitu :

- a.) Laju korosi
- b.) Struktur mikro

3.4 Diagram Alir Penelitian



Gambar 3.1 Diagram Alir Penelitian

3.5 Prosedur Penelitian

3.5.1 Persiapan pengujian

Spesimen uji plat baja A36 dipersiapkan terlebih dahulu dengan ukuran 4 x 4 cm, 8 x 4 cm, 12 x 4 cm dengan jumlah total 84 spesimen. Kemudian plat baja dibersihkan terlebih dahulu dari kotoran-kotoran untuk menghindari terjadinya korosi diawal yang mengacu pada ASTM G1-81 ‘‘Standart Practice Preparing, Cleaning, and Evaluating Corrosion Test Specimens’’

3.5.2 Penyusunan spesimen

Sebelum penelitian dilaksanakan terlebih dahulu dilakukan persiapan penyusunan perlengkapan penelitian maupun bahan-bahan yaitu diantaranya :

1. Alat-alat yang harus dicek yaitu :

- a. Kondisi mikroskop metalurgi
- b. Kondisi timbangan digital

2. Bahan yang harus disediakan

- a. Material plat baja A36 dengan ukuran 4 x 4 cm, 8 x 4 cm, 12 x 4 cm
- b. Material aluminium dengan dimensi 4 x 4 cm
- c. Material seng dengan dimensi 4 x 4 cm
- d. Menyiapkan air laut sebagai media
- e. Menyiapkan resin dan harder untuk menjadikan dudukan material untuk pengambilan struktur mikro

3.5.3 Pengujian spesimen

Pengujian yang akan dilakukan dalam penelitian tersebut terdapat 2 macam yaitu :

1. Pengujian struktur mikro

- a. Pengujian struktur mikro dilakukan pada 8 spesimen, yaitu :
 - Spesimen tanpa perlakuan anoda
 - Variasi A, B, dan C Al
 - Variasi A, B, dan C Zn
 - Spesimen sebelum perendaman
- b. Pengujian struktur makro yaitu pengambilan gambar seiap spesimen pada hari ke 7, 14, 21, 28

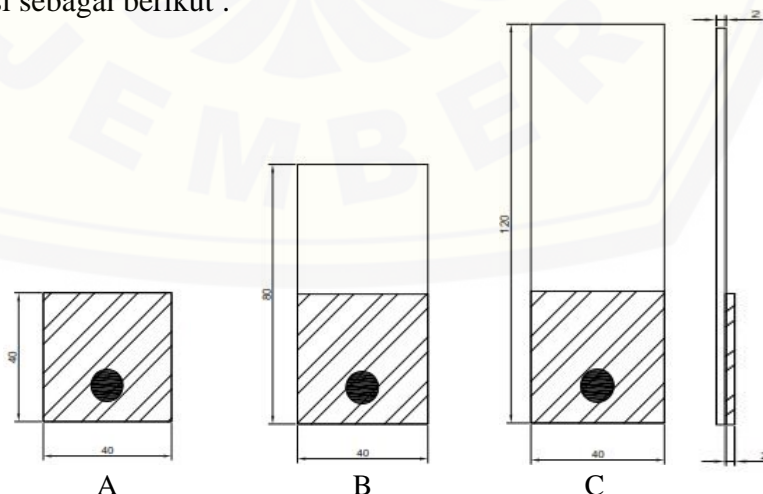
2. Pengujian Weightloss

Pengujian dilakukan dengan cara prosedur pengujian immersion. Prosedur ini dilakukan dengan beberapa tahapan yang mengacu pada ASTM G31 Standard Practice For Laboratory Immersion Corrosion Testing Of Metal sebagai berikut :

- a. Spesimen terlebih dahulu ditimbang beratnya
- b. Anoda aluminium yang menjadi tumbal ditempelkan pada baja A36 menggunakan baut dan mur
- c. Anoda seng yang menjadi tumbal ditempelkan pada baja A36 menggunakan baut dan mur
- d. Memberikan simbol atau tanda pada spesimen
- e. Spesimen direndam menggunakan alkohol untuk menghilangkan kotoran-kotoran yang menempel kemudian disiram dengan air
- f. Spesimen dimasukkan kedalam air laut selama 7 hari, 14 hari, 21 hari, 28 hari

3.5.4 Persiapan spesimen

Langkah awal pada penelitian tersebut adalah menyiapkan spesimen dengan dimensi sebagai berikut :



Gambar 3.2 luas permukaan katoda dibandingkan anoda

3.5.5 Pengambilan data

Ada dua cara pengambilan data yaitu :

- Pengambilan data menggunakan struktur mikro
- Pengambilan data menggunakan uji celup/immerse. Adapun table untuk mengontrol berat spesiem ditunjukkan oleh table

Ukuran anoda	Spesimen	Berat awal (mg)	Setelah perendaman hari ke-				Jumlah	Rata-rata
			7	14	21	28		
Al.a	1							
	2							
	3							
	Jumlah							
	Rata-rata							
Al.b	1							
	2							
	3							
	Jumlah							
	Rata-rata							
Al.c	1							
	2							
	3							
	Jumlah							
	Rata-rata							
Zn.a	1							
	2							
	3							
	Jumlah							
	Rata-rata							
Zn.b	1							
	2							
	3							
	Jumlah							
	Rata-rata							
Zn.c	1							
	2							
	3							
	Jumlah							
	Rata-rata							

Kode Variasi	Berat awal (mg)	Setelah perendaman hari ke-				Jumlah	Rata-rata
		7	14	21	28		
Ta.a							
Ta.b							
Ta.c							

BAB 5. PENUTUP

5.1 Kesimpulan

Dari hasil penelitian yang dilakukan dapat diambil kesimpulan sebagai berikut :

1. Nilai laju korosi baja A36 memiliki nilai yang berbeda pada setiap variasi jenis anoda korban seng dan aluminium. Baja A36 tanpa proteksi anoda korban memiliki rata-rata nilai laju korosi sebesar 0.2340 mm/tahun, pada baja A36 dengan ukuran 4 x 4 cm proteksi seng ukuran 4 x 4 cm nilai rata-rata laju korosi berada pada angka 0.3318 mm/tahun. Baja A36 dengan dengan ukuran 8 x 4 cm proteksi seng ukuran 4 x 4 cm memiliki rata-rata laju korosi sebesar 0.4295 mm/tahun dan baja A36 dengan ukuran 12 x 4 cm proteksi seng ukuran 4 x 4 cm memiliki rata-rata laju korosi sebesar 0.4919 mm/tahun.
2. Laju korosi baja A36 tanpa proteksi anoda korban memiliki nilai laju korosi paling besar, sedangkan nilai laju korosi terendah dihasilkan oleh anoda aluminium dengan ukuran 4 x 4 cm pada baja A36 ukuran 4 x 4 cm Semakin meratanya pendistribusian anoda korban maka jangkauan proteksi akan semakin luas sehingga anoda korban dapat bekerja bekerja dengan baik.
3. Hasil observasi mikro baja A36 tanpa anoda korban menunjukkan banyaknya rongga yang muncul akibat serangan korosi, sedangkan pada baja A36 yang diproteksi anoda korban seng dan alumunium jumlah rongga menurun drastis, dengan kinerja terbaik dihasilkan anoda korban dengan ukuran 4 x 4 cm pada katoda berukuran 4 x 4 cm.

5.2 Saran

1. Penelitian selanjutnya disarankan menganalisis pengaruh pH dan suhu agar data dan informasi laju korosi baja A36 lebih akurat.
2. Penelitian selanjutnya disarankan menambahkan pompa air pada wadah uji spesimen agar keadaan air laut bergelombang.
3. Penelitian selanjutnya disarankan melakukan uji komposisi pada anoda korban agar dapat diketahui pengaruh penambahan unsur pada korban.

DAFTAR PUSTAKA

- Afriani, S., Komalasari, dan Zultiniar. 2014. Proteksi katodik metoda anoda tumbal untuk mengendalikan laju korosi. *Jurnal Teknik Kimia*, Fakultas Teknik, Universitas Riau.
- Anggono, J., dan S. Tjitro. 2000. Studi Perbandingan Kinerja Anoda Korban Paduan Aluminium dengan Paduan Seng dalam Lingkungan Air Laut. Jurusan Teknik Mesin, Fakultas Teknologi Industri, Universitas Kristen Petra.
- ASTM, Designation: E407-07. 2011. *Standard practice for microetching metals and alloys*.
- ASTM, Designation: G1-90. 1999. *Standard practice for preparing, cleaning, and evaluating corrosion test specimens*
- ASTM, Designation: G71-81. 2009. *Standard guide for conducting and evaluating galvanic corrosion tests in electrolytes*.
- Benjamin D., dan Craig. 2006, *Corrosion Prevention and Control: A Program Management Guide for Selecting Materials by : Advanced Materials, Manufacturing, and Testing Information Analysis Center (AMMTIAC)*.
- Burhanudin, M. 2000. Analisa Teknis dan Ekonomis Perlindungan Korosi Menggunakan Sistem Sacrificial Anode dan Impressed Current Cathodic Protection pada Kapal. *Skripsi*. Institut Teknologi Sepuluh Nopember. Surabaya.
- Chodijah, S. 2008. Efektifitas penggunaan pelapis epoksi terhadap ketahanan korosi pipa baja astm a53 didalam tanah. Fakultas Teknik, Teknik Material Dan Metalurgi Depok.
- Eliades, T., dan Athanasial. 2002. *In vivo aging of orthodontic alloy implication for corrosion potential, nickel release, and biocompatibility*. Angle Orthod.
- Espelid., Baard, dan Schi, B. 1996. Characterization of Sacrificial Anodes Materials Through Laboratory Testing, In NACE International. *Corrosion*. Paper No.551, Texas, USA.

- DNV Recomended Practice RP.B401. 1993. *Cathodic Protection Design, Det Norske Veritas Industry Norway AS, Hovik.*
- Fadly, E. 2010. Perbandingan Efisiensi Anoda Aluminium Pada Lingkungan Air Laut dan Pasir Laut. Fakultas Teknik, Universitas Indonesia.
- Fontana., dan Mars. G. 1986. *Corrosion Engineering*. 3th Edition, Book Co., New York : Mc Graw Hill
- Hari Amanto,, dan Daryanto. (1999). Ilmu Bahan. Jakarta: PT. Bumi Aksara.
- Johannes Leonard. 2012., Analisis Laju Korosi Material Penukar Panas Mesin Kapal Dalam Lingkungan Air Laut Sintetik dan Air Tawar, Malang.
- Muhsinin, N. M., dan B. A. Kurniawan. 2012. Pengaruh Polutan Terhadap Karakteristik dan Laju Korosi pada Baja AISI 1045 dan Stainless Steel 304 di Lingkungan Muara Sungai. *Jurnal Teknik Pomits* Vol. 1, No. 1.
- PT. Biro Klasifikasi Indonesia, 2006. *Rules for The Classification and Construction of Seagoing Stel Ships*. Volume II. Rules For Hull, Edition 2006. Jakarta : BKI.
- Pribadi Ridzky, M. 2001. Potensi Patodik Arus Paksa yang Berasal dari DC dan AC.
- Tugas Akhir. Teknik Material. Fakultas Teknologi Industri Institut Teknologi Sepuluh Novermber Surabaya.
- Sasono, E. J. 2010. Efektivitas Penggunaan Anoda Korban Paduan Aluminium Pada Pelat Baja Kapal AISI E 2512 Terhadap Laju Korosi di dalam Media air Laut. *Tesis*. Teknik Mesin. Fakultas Teknik : Universitas Diponegoro.
- Sasono, E. J., Sulaiman, S. Darmanto, dan E. Supriyo. 2014. Analisa Perbandingan Laju Korosi Lambung Kapal Dengan Aplikasi Paduan Alumunium. Teknik Mesin. Fakultas Teknik : Universitas Diponegoro.
- Sulaiman. 2014. Analisa perbandingan laju korosi lambung kapal dengan aplikasi paduan alumunium. *Jurnal Teknik Perkapalan*. Fakultas Teknik Universitas Diponegoro Semarang.
- Sulistioso, G. S. 2004. Analisis Korosi dari SS 440C pada Media Air Tawar dan Air Laut.

- Sumarji. 2012. Evaluasi Korosi Baja Karbon Rendah ASTM A36 Pada Lingkungan Atmosferik Di Kabupaten Jember. ROTOR, Volume 5 Nomor 1.
- Supardi, H, R. 1997. *Korosi*, Edisi Pertama. Bandung : Penerbit Tarsito.
- Syahbuddin., dan Rahmam, A. 2003. Pertumbuhan Lapisan Intermetalik Fe - Zn pada Permukaan Sambungan Las Baja Struktur SS400 selama Galvanis pada 460 °C, *jurnal desain dan kontruksi* volume 2 no. 1.
- Tretthewey, R, K., and Chamberlain, J. 1991. *Korosi untuk Mahasiswa dan Rekayasaawan*. edisi ke-2. Jakarta : PT. Gramedia.
- Utomo, B. 2009. Jenis Korosi dan Penanggulangannya. *Jurnal Teknik Perkapalan*, Universitas Diponegoro.
- Wibowo, A. 2016. Analisis sifat korosi galvanik berbagai plat logam di laboratorium metalurgi politeknik negeri batam. *Jurnal Integrasi*. Vol. 8. (No. 2).
- Widharto, S. 1997. *Karat dan Pencegahannya*. Jakarta : Pradiya Paramitha.
- Wiludin, A., dan Soepomo, H. 2013. Analisa Teknis dan Ekonomis Penggunaan ICCP (*Impressed Current Cathodic Protection*) Dibandingkan dengan *Sacrificial Anode* dalam Proses Pencegahan Korosi. *Jurnal Teknik POMITS* Vol. 2, No. 1.

LAMPIRAN

LAMPIRAN A. DATA HASIL PENGUJIAN

A.1.1 Tabel laju korosi baja A36 proteksi anoda korban

Hari ke -	Luas Katoda (cm ²)	Berat Awal (g)	Berat Akhir (g)	Selisih Berat (g)	Waktu (jam)	Densitas (g/cm ³)	Koatanta	Laju Korosi (mm/tahun)
7	16.0000	17.6907	17.1699	0.5208	168	7.8	87600	2.175961538
14	16.0000	17.3940	16.2816	1.1124	336	7.8	87600	2.323866758
21	16.0000	18.0629	16.3529	1.7100	504	7.8	87600	2.381524725
28	16.0000	18.9454	16.5707	2.3747	672	7.8	87600	2.480441564
Rata-rata								2.340448646

A.1.2 Tabel laju korosi baja A36 dengan anoda korban seng ukuran 4 x 4 cm

Har i ke -	Luas Katoda (cm ²)	Berat Awal (g)	Berat Akhir (g)	Selisih Berat (g)	Waktu (jam)	Densi tas (g/c m ³)	Konst anta	Laju Korosi (mm/tahun)	Rata-rata (mm/tah un)
7	16,0000	18,1221	18,0497	0,0724	168	7,8	87600	0,30249542	0,305002 289
	16,0000	16,6737	16,6002	0,0735	168	7,8	87600	0,30709135	
	16,0000	16,8482	16,7751	0,0731	168	7,8	87600	0,30542010	
14	16,0000	16,3984	16,2409	0,1575	336	7,8	87600	0,32902644	0,329653 16
	16,0000	16,8457	16,6878	0,1579	336	7,8	87600	0,32986206	
	16,0000	16,2798	16,1218	0,1580	336	7,8	87600	0,33007097	
21	16,0000	16,5724	16,3197	0,2527	504	7,8	87600	0,35193643	0,360803 317
	16,0000	16,5116	16,2531	0,2585	504	7,8	87600	0,36001411	
	16,0000	16,4769	16,2109	0,2660	504	7,8	87600	0,37045940	
28	16,0000	16,4970	16,0460	0,4510	672	7,8	87600	0,47108230	0,484974 53
	16,0000	16,7197	16,2551	0,4646	672	7,8	87600	0,48528788	
	16,0000	15,8789	15,4016	0,4773	672	7,8	87600	0,49855340	
Rata – rata									0,331819 589

A.1.3 Tabel laju korosi A36 dengan anoda korban seng ukuran 4 x 8 cm

Hari ke -	Luas Katoda (cm ²)	Berat Awal (g)	Berat Akhir (g)	Selisih Berat (g)	Waktu (jam)	Konstanta	Densitas (g/cm ³)	Laju Korosi (mm/tahun)	Rata-rata (mm/tahun)
7	32,0000	36,8868	36,7018	0,1850	168	87600	7,8	0,3864755	0,3834 1155
	32,0000	36,8029	36,6226	0,1803	168	87600	7,8	0,3766569	
	32,0000	36,6495	36,4642	0,1853	168	87600	7,8	0,3871022	
14	32,0000	36,4128	36,0209	0,3919	336	87600	7,8	0,4093507	0,4123 10172
	32,0000	34,2894	33,8938	0,3956	336	87600	7,8	0,4132154	
	32,0000	37,4661	37,0694	0,3967	336	87600	7,8	0,4143644	
21	32,0000	35,9931	35,3834	0,6097	504	87600	7,8	0,4245660	0,4292 77956
	32,0000	36,3476	35,7300	0,6176	504	87600	7,8	0,4300671	
	32,0000	36,4814	35,8593	0,6221	504	87600	7,8	0,4332007	
28	32,0000	35,5493	34,6151	0,9342	672	87600	7,8	0,4878992	0,4932 78531
	32,0000	35,5127	34,5716	0,9411	672	87600	7,8	0,4915028	
	32,0000	37,1592	36,2010	0,9582	672	87600	7,8	0,5004335	
Rata – rata									0,4295 6955

A.1.4 Tabel laju korosi baja A36 dengan anoda korban seng ukuran 4 x 12 cm

Hari ke -	Luas Katoda (cm ²)	Berat Awal (g)	Berat Akhir (g)	Selisih Berat (g)	Waktu (jam)	Densitas (g/cm ³)	Konstanta	Laju Korosi (mm/tahun)	Rata-rata (mm/tahun)
7	48,0000	54,96 73	54,6360	0,3313	168	7,8	87600	0,461403007	0,465395 426
	48,0000	51,68 97	51,3548	0,3349	168	7,8	87600	0,466416743	
	48,0000	53,69 56	53,3593	0,3363	168	7,8	87600	0,468366529	
14	48,0000	55,06 67	54,3911	0,6756	336	7,8	87600	0,470455586	0,481620 434
	48,0000	55,79 01	55,0949	0,6952	336	7,8	87600	0,4841041	
	48,0000	53,90 22	53,1981	0,7041	336	7,8	87600	0,490301625	
21	48,0000	54,48 58	53,4167	1,0691	504	7,8	87600	0,496313467	0,499501 213
	48,0000	56,50 05	55,4234	1,0771	504	7,8	87600	0,500027345	
	48,0000	56,10 13	55,0196	1,0817	504	7,8	87600	0,502162826	
28	48,0000	55,03 24	53,5654	1,4670	672	7,8	87600	0,510774382	0,521138 425
	48,0000	54,72	53,2211	1,4997	672	7,8	87600	0,522159741	

	08								
48,0000	54,70 13	53,1777	1,5236	672	7,8	87600	0,530481151		
Rata – rata								0,491913	874

A.1.5 Tabel laju korosi baja A36 dengan anoda korban alumunium ukuran 4 x 4 cm

Hari ke -	Luas Katoda (cm ²)	Berat Awal (g)	Berat Akhir (g)	Selisih Berat (g)	Waktu (jam)	Dens itas (g/c m ³)	Konstanta	Laju Korosi (mm/tahun)	Rata-rata (mm/tahun)
7	16,0000	17,1907	17,1699	0,0208	168	7,8	87600	0,086904762	0,09219 7039
	16,0000	16,4580	16,4378	0,0202	168	7,8	87600	0,084397894	
	16,0000	16,6916	16,6664	0,0252	168	7,8	87600	0,105288462	
14	16,0000	16,3727	16,2816	0,0911	336	7,8	87600	0,190313072	0,16893 5058
	16,0000	15,9351	15,8577	0,0774	336	7,8	87600	0,161692995	
	16,0000	16,6822	16,6081	0,0741	336	7,8	87600	0,154799107	
21	16,0000	16,4301	16,3529	0,0772	504	7,8	87600	0,107516789	0,10937 3728
	16,0000	16,5579	16,4796	0,0783	504	7,8	87600	0,109048764	
	16,0000	16,1572	16,0771	0,0801	504	7,8	87600	0,111555632	
28	16,0000	16,6584	16,5707	0,0877	672	7,8	87600	0,09160514	0,09345 0473
	16,0000	16,8593	16,7686	0,0907	672	7,8	87600	0,094738725	
	16,0000	16,4158	16,3258	0,0900	672	7,8	87600	0,094007555	
Rata – rata								0,11598	9075

A.1.6 Tabel laju korosi baja A36 dengan anoda korban alumunium ukuran 4 x 8 cm

Ha ri ke -	Luas Katoda (cm ²)	Berat Awal (g)	Berat Akhir (g)	Selisih Berat (g)	Waktu (jam)	Dens itas (g/c m ³)	Konstanta	Laju Korosi (mm/tahun)	Rata-rata (mm/tahun)
7	32,0000	39,7770	39,6888	0,0882	168	7,8	87600	0,184254808	0,1795892 48
	32,0000	35,2271	35,1374	0,0897	168	7,8	87600	0,187388393	
	32,0000	36,1762	36,0962	0,0800	168	7,8	87600	0,167124542	
14	32,0000	35,2498	35,0666	0,1832	336	7,8	87600	0,19133671	0,1957724 74
	32,0000	33,7101	33,5225	0,1876	336	7,8	87600	0,195953526	
	32,0000	35,0185	34,8270	0,1915	336	7,8	87600	0,200027186	

21	32,0000	35,3645	35,0829	0,2816	504	7,8	87600	0,19609280	0,2049364 70
	32,0000	35,5355	35,2353	0,3002	504	7,8	87600	0,209044948	
	32,0000	33,7419	33,4408	0,3011	504	7,8	87600	0,209671665	
28	32,0000	36,0901	35,6145	0,4756	672	7,8	87600	0,248388851	0,2591649 02
	32,0000	36,4790	35,9732	0,5058	672	7,8	87600	0,264161229	
	32,0000	36,0937	35,5864	0,5073	672	7,8	87600	0,264944626	
Rata – rata								0,2098657	73

A.1.7 Tabel laju korosi baja A36 dengan anoda korban alumunium ukuran 4 x 12 cm

Hari ke -	Luas Katoda (cm ²)	Berat Awal (g)	Berat Akhir (g)	Selisih Berat (g)	Waktu (jam)	konstanta	Densit as (g/cm ³)	Laju Korosi (mm/tahun)	Rata-rata (mm/tahun)
7	48,0000	58,1039	57,9674	0,1365	168	87600	7,8	0,190104167	0,1941 4301
	48,0000	55,1312	54,9933	0,1379	168	87600	7,8	0,192053953	
	48,0000	55,1913	55,0475	0,1438	168	87600	7,8	0,20027091	
14	48,0000	55,1602	54,8590	0,3012	336	87600	7,8	0,20974130	0,2158 4599
	48,0000	53,6907	53,3796	0,3111	336	87600	7,8	0,21663519	
	48,0000	53,9716	53,6540	0,3176	336	87600	7,8	0,221161477	
21	48,0000	52,3585	51,8816	0,4769	504	87600	7,8	0,221393595	0,2333 2443
	48,0000	56,4747	55,9711	0,5036	504	87600	7,8	0,233788665	
	48,0000	55,5902	55,0629	0,5273	504	87600	7,8	0,244791031	
28	48,0000	54,3291	53,6070	0,7221	672	87600	7,8	0,251417983	0,2685 83066
	48,0000	53,2825	52,5005	0,7820	672	87600	7,8	0,27227373	
	48,0000	54,1063	53,2962	0,8101	672	87600	7,8	0,282057482	
Rata – rata								0,2279	74124

A.1.8 Tabel data kehilangan berat dengan anoda seng ukuran 4 x 4 cm

Hari ke -	Luas Anoda (cm ²)	Berat Awal (g)	Berat Akhir (g)	Selisih Berat (g)	Waktu (jam)	Laju Korosi (mm/tahun)	Rata-rata (mm/tahun)
7	16.0000	3.3953	3.3497	0.0456	168	0.550396825	0.824790564
	16.0000	3.5605	3.4914	0.0691	168	0.834044312	
	16.0000	3.7187	3.6284	0.0903	168	1.089930556	
14	16.0000	3.8085	3.6910	0.1175	336	0.709118717	1.264343585
	16.0000	3.7425	3.5264	0.2161	336	1.304174934	
	16.0000	3.7123	3.4174	0.2949	336	1.779737103	
21	16.0000	3.8743	3.5604	0.3139	504	1.262935406	1.611895576
	16.0000	3.8581	3.4247	0.4334	504	1.743727954	
	16.0000	4.1164	3.6618	0.4546	504	1.829023369	
28	16.0000	3.9861	3.4632	0.5229	672	1.577864583	1.86342317
	16.0000	4.0985	3.4846	0.6139	672	1.852459491	
	16.0000	4.3776	3.6618	0.7158	672	2.159945437	
Rata – rata							1.3911132

A.1.9 Tabel data kehilangan berat dengan anoda seng ukuran 4 x 8 cm

Hari ke -	Luas Anoda (cm ²)	Berat Awal (g)	Berat Akhir (g)	Selisih Berat (g)	Wakt u (jam)	Laju Korosi (mm/tahun)	Rata-rata (mm/tahu n)
7	16.0000	4.1104	3.3930	0.7174	168	8.659093915	9.188569224
	16.0000	4.3012	3.5339	0.7673	168	9.261392196	
	16.0000	4.1935	3.3944	0.7991	168	9.645221561	
14	16.0000	4.3816	3.5602	0.8214	336	4.95719246	5.534747024
	16.0000	4.4007	3.4740	0.9267	336	5.592683532	
	16.0000	4.1992	3.1960	1.0032	336	6.054365079	
21	16.0000	4.2772	3.1939	1.0833	504	4.358515212	4.738857657
	16.0000	4.4097	3.2981	1.1116	504	4.472376543	
	16.0000	4.6973	3.3587	1.3386	504	5.38568121	

						7	
28	16.0000	4.8931	3.4422	1.4509	672	4.37812913 4	4.2507895 17
	16.0000	4.9997	3.5882	1.4115	672	4.25923859 1	
	16.0000	4.9969	3.6332	1.3637	672	4.11500082 7	
Rata – rata						5.9282409	

A.1.10 Tabel data kehilangan berat dengan anoda seng ukuran 4 x 12 cm

Hari ke -	Luas Anoda (cm ²)	Berat Awal (g)	Berat Akhir (g)	Selisih Berat (g)	Waktu (jam)	Laju Korosi (mm/tahun)	Rata-rata (mm/tahun)
7	16.0000	4.8276	3.4588	1.3688	168	16.52156085	16.66640212
	16.0000	4.9329	3.5560	1.3769	168	16.61932870	
	16.0000	4.6551	3.2584	1.3967	168	16.85831680	
14	16.0000	4.7240	3.3167	1.4073	336	8.49312996	8.73131338
	16.0000	4.7572	3.3354	1.4218	336	8.58063823	
	16.0000	4.8783	3.3671	1.5112	336	9.12017196	
21	16.0000	4.9929	3.4914	1.5015	504	6.04108796	6.23756246
	16.0000	4.8424	3.3170	1.5254	504	6.13724647	
	16.0000	4.8454	3.2213	1.6241	504	6.53435295	
28	16.0000	5.2120	3.4916	1.7204	672	5.19135251	5.50074956
	16.0000	5.4083	3.5970	1.8113	672	5.46564567	
	16.0000	5.2919	3.3548	1.9371	672	5.84525050	
Rata – rata						9.2840069	

A.1.11 Tabel kehilangan berat dengan anoda alumunium ukuran 4 x 4 cm

Har i ke -	Luas Anoda (cm²)	Berat Awal (g)	Berat Akhir (g)	Selisih Berat (g)	Wakt u (jam)	Laju Korosi (mm/tahun)	Rata-rata (mm/tahun)
7	16.0000	3.9889	3.9799	0.0090	168	0.108630952	0.119494048
	16.0000	4.0086	3.9984	0.0102	168	0.123115079	
	16.0000	3.9705	3.9600	0.0105	168	0.126736111	
14	16.0000	3.9392	3.9084	0.0308	336	0.185879630	0.308793541
	16.0000	3.8864	3.8348	0.0516	336	0.311408730	
	16.0000	3.9973	3.9262	0.0711	336	0.429092262	
21	16.0000	3.9032	3.8105	0.0927	504	0.372966270	0.468990667
	16.0000	3.9081	3.7867	0.1214	504	0.488436949	
	16.0000	3.9997	3.8641	0.1356	504	0.545568783	
28	16.0000	3.9485	3.7868	0.1617	672	0.487934028	0.692522321
	16.0000	4.1998	4.0185	0.1813	672	0.547077546	
	16.0000	4.2641	3.9186	0.3455	672	1.042555390	
Rata – rata							0.39745014

A.1.12 Tabel kehilangan berat dengan anoda alumunium ukuran 4 x 8 cm

Hari ke -	Luas Anoda (cm²)	Berat Awal (g)	Berat Akhir (g)	Selisih Berat (g)	Waktu (jam)	Densitas (g/cm³)	Rata-rata (mm/tahun)
7	16.0000	3.9463	3.9246	0.0217	168	2.7	0.50493276
	16.0000	3.9329	3.8920	0.0409	168	2.7	
	16.0000	3.9508	3.8879	0.0629	168	2.7	
14	16.0000	4.0021	3.9120	0.0901	336	2.7	1.018314594
	16.0000	3.5292	3.4187	0.1105	336	2.7	
	16.0000	3.7137	3.4081	0.3056	336	2.7	
21	16.0000	3.9125	3.4091	0.5034	504	2.7	1.913782334
	16.0000	4.0251	3.6166	0.4085	504	2.7	
	16.0000	3.9348	3.4197	0.5151	504	2.7	
28	16.0000	3.9054	3.2229	0.6825	672	2.7	2.131480104
	16.0000	4.1948	3.4844	0.7104	672	2.7	
	16.0000	4.2353	3.5091	0.7262	672	2.7	
Rata – rata							1.39212745

A.1.13 Data kehilangan berat dengan anoda alumunium ukuran 4 x 12 cm

Hari ke -	Luas Anoda (cm ²)	Berat Awal (g)	Berat Akhir (g)	Selisih Berat (g)	Waktu (jam)	Laju Korosi (mm/tahun)	Rata-rata (mm/tahun)
7	16.0000	4.0028	3.9620	0.0408	168	0.492460317	0.78616 6226
	16.0000	3.9811	3.9129	0.0682	168	0.823181217	
	16.0000	4.0387	3.9523	0.0864	168	1.042857143	
14	16.0000	4.1117	4.0108	0.1009	336	0.608936839	1.09254 5745
	16.0000	4.1273	3.9954	0.1319	336	0.796023479	
	16.0000	4.2345	3.9242	0.3103	336	1.872676918	
21	16.0000	4.5531	4.0376	0.5155	504	2.074046517	2.46887 3089
	16.0000	4.5424	3.9159	0.6265	504	2.520640432	
	16.0000	4.3802	3.6813	0.6989	504	2.811932319	
28	16.0000	4.6141	3.8887	0.7254	672	2.188913690	2.51178 9021
	16.0000	4.7089	3.8311	0.8778	672	2.648784722	
	16.0000	4.8669	3.9729	0.8940	672	2.697668651	
Rata – rata							1.71484 352

LAMPIRAN B. PERHITUNGAN LAJU KOROSI

Contoh perhitungan laju korosi diambil dari spesimen baja A36 dengan proteksi

$$K = 8,76 \times 10^4$$

$$W = 0,2585 \text{ gram}$$

$$A = 52,815 \text{ cm}^2$$

$$T = 672 \text{ jam}$$

$$D = 7,8 \text{ g/cm}^3$$

$$CR = \frac{K \times W}{A \times D \times T}$$

$$= \frac{87600 \times 0,2585}{16,0000 \times 7,8 \times 504}$$

$$= 0,36001 \text{ mm/tahun}$$

LAMPIRAN C. GAMBAR PERSIAPAN SPESIMEN

C.1 Proses persiapan spesimen



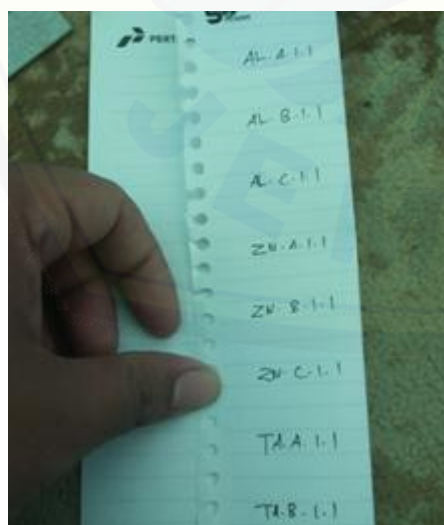
Gambar C.1 pengeboran spesimen



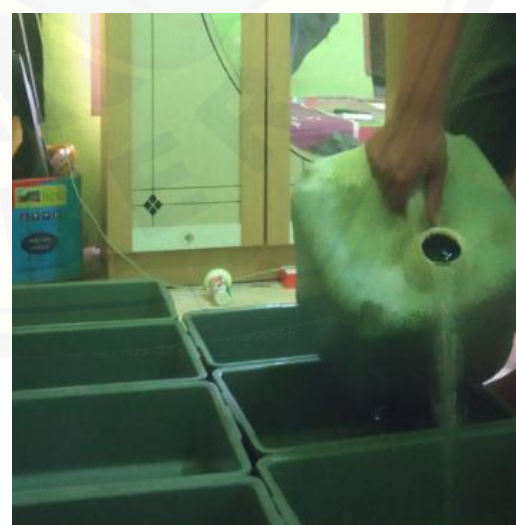
Gambar C.2 pembersian spesimen (HCL)



C.2 Proses perendaman spesimen



Gambar C.2.1 koding spesimen



Gambar C.2.2 penuangan air laut



Gambar C.2.3 proses perendaman spesimen



Gambar C.2.4 proses perendaman spesimen

LAMPIRAN D. PENGAMATAN STRUKTUR MAKRO



Gambar D.1 spesimen sebelum perendaman

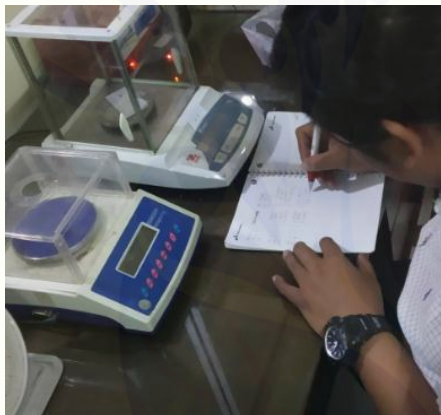


Gambar D.2 spesimen sesudah perendaman

LAMPIRAN E. PENGAMBILAN DATA DAN PENGUJIAN SPESIMEN



Gambar E.1 Timbangan digital



Gambar E.2 Penimbangan berat awal



Gambar E.3 Penimbangan berat akhir



Gambar E.4 Persiapan spesimen uji mikro



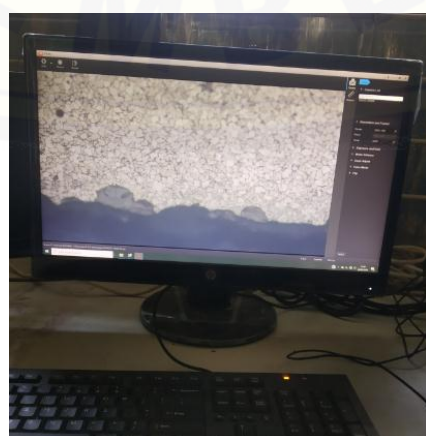
Gambar E.5 Penuangan resin dan katalis



Gambar E.6 Pengamplasan spesimen



Gambar E.7 Mikroskop



Gambar E.8 Pengamatan struktur mikro

